

TAVOLA LXXV<sup>a</sup>

SPIEGAZIONE DELLE FIGURE.

---

*Mesembryanthemum* *finuensis* ARCANDELLI.

Fig. 165. — Uropode destro, visto dal dorso (x 90).

A. ARCANDELLI del.

°VXXI AJOVAT

**SPIEGAZIONE DELLE FIGURE.**

—

*Mesarmadillo kivuensis* ARCANGELI.

Fig. 165. — Uropode destro, visto dal dorso (x 90).

A. ARCANGELI del.

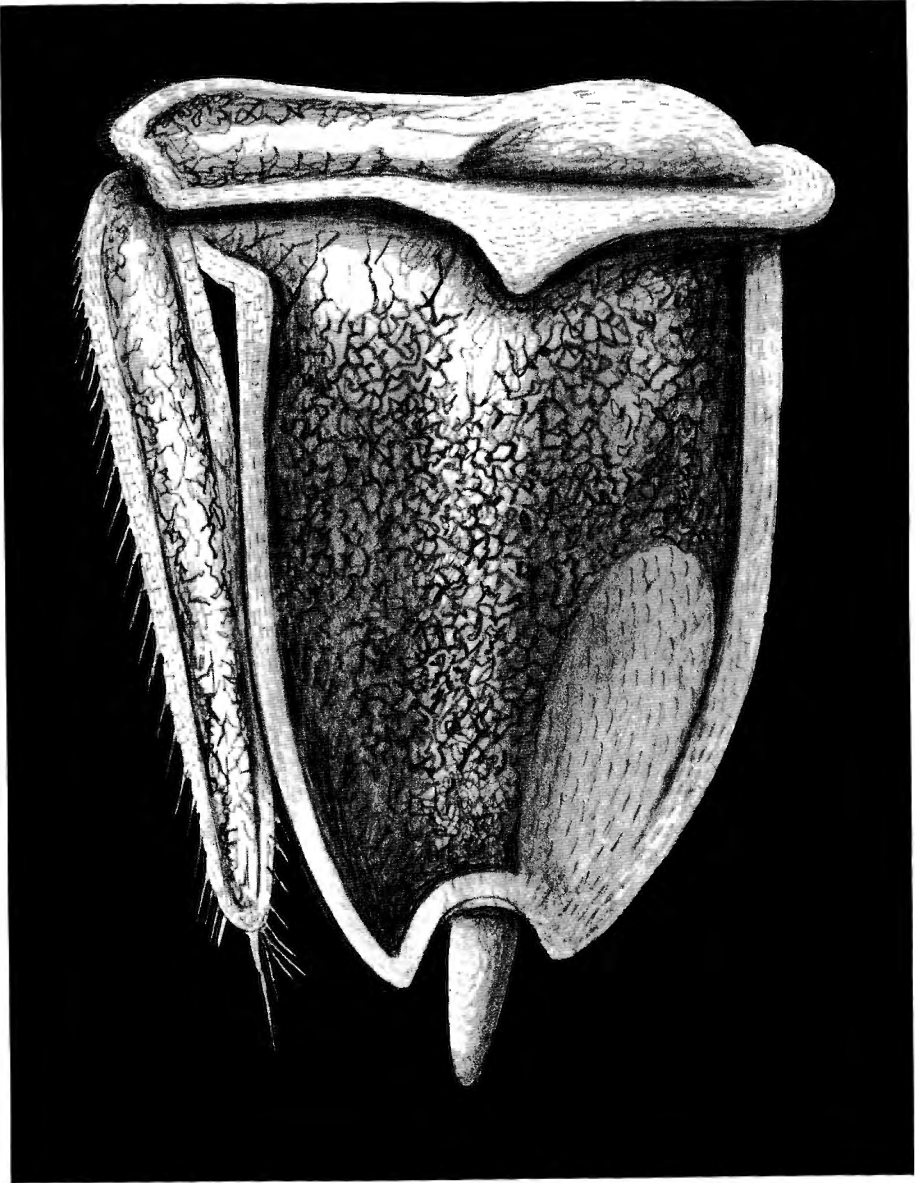


Fig. 165.



.IVXXI AIOVAT

SPIEGAZIONE DELLE FIGURE.

---

*Periscyphops lugubris* ARCANGELI.

- Fig. 166. — Cephalon e parte anteriore del 1° pereionite, visti dal dorso (x 28).
- Fig. 167. — Parte anteriore del cephalon, con l'occhio sinistro e l'angolo anteriore dell'epimere del 1° pereionite, insieme con l'alveolo antennario : il tutto visto dal davanti (x 22).
- Fig. 168. — Epimere destro del 1° pereionite, visto di lato e dorsalmente (x 20).
- Fig. 169. — 5° pleonite, pleotelson ed uropodi, visti dal dorso (x 20).

A. ARCANGELI del.

TAVOLA LXXVI.

SPIEGAZIONE DELLE FIGURE.

*Perisphaps lugubris* ARCANDELLI.

Fig. 166. — Cephalon e parte anteriore del 1° pereonite, visti dal dorso (x 28).

Fig. 167. — Parte anteriore del cephalon, con l'occhio sinistro e l'angolo anteriore dell'epimere del 1° pereonite, insieme con l'alveolo anteriore: il tutto visto dal davanti (x 22).

Fig. 168. — Epimere destro del 1° pereonite, visto di lato e dorsalmente (x 20).

Fig. 169. — 2° pleonite, pleotelson ed uropodi, visti dal dorso (x 20).

A. ARCANDELLI del.

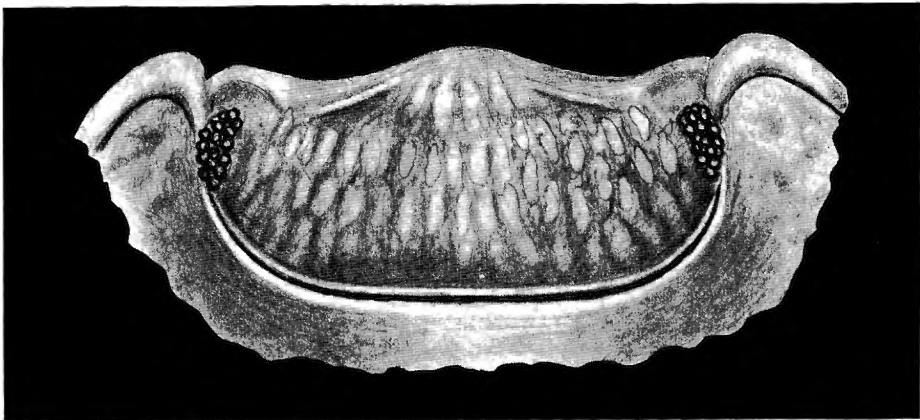


Fig. 166.

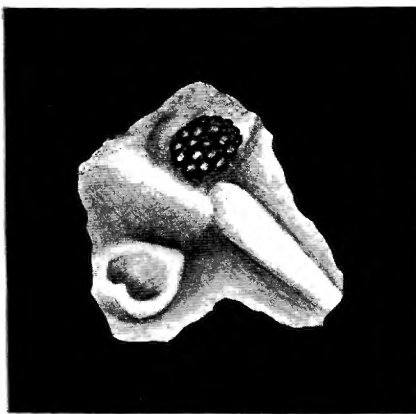


Fig. 167.

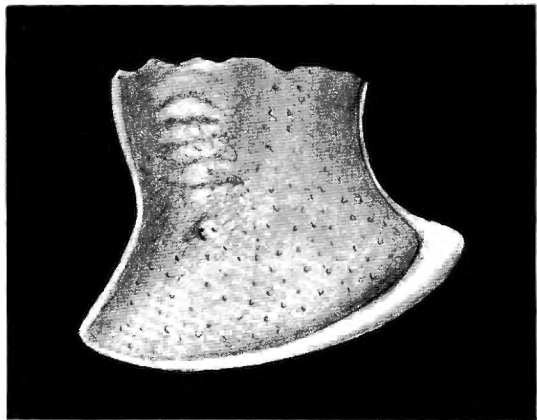


Fig. 168.

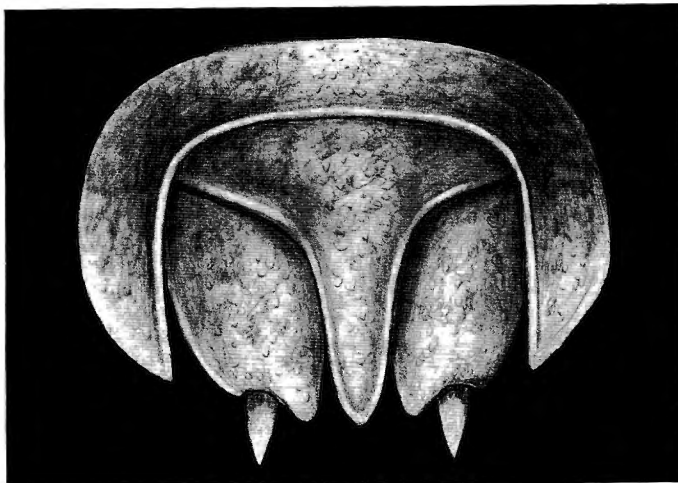


Fig. 169.





TAVOLA LXXVII.

SPIEGAZIONE DELLE FIGURE.

*Perisphaps humilis* ARCANDELLI.

Fig. 170. — Cephalon ed angoli epimerali anteriori del 1° pereonite, visti dal davanti (x 32,5).

Fig. 171. — Epimere destro del 1° pereonite, visto di lato e dorsalmente (x 30).

Fig. 172. — 2° pleonite, pleotelson ed uropodi, visti dal dorso (x 30).

A. ARCANDELLI del.

SPIEGAZIONE DELLE FIGURE.

---

*Periscyphops humilis* ARCANGELI.

- Fig. 170. — Cephalon ed angoli epimerali anteriori del 1° pereionite, visti dal davanti (x 32,5).
- Fig. 171. — Epimere destro del 1° pereionite, visto di lato e dorsalmente (x 36).
- Fig. 172. — 5° pleonite, pleotelson ed uropodi, visti dal dorso (x 30).

A. ARCANGELI del.

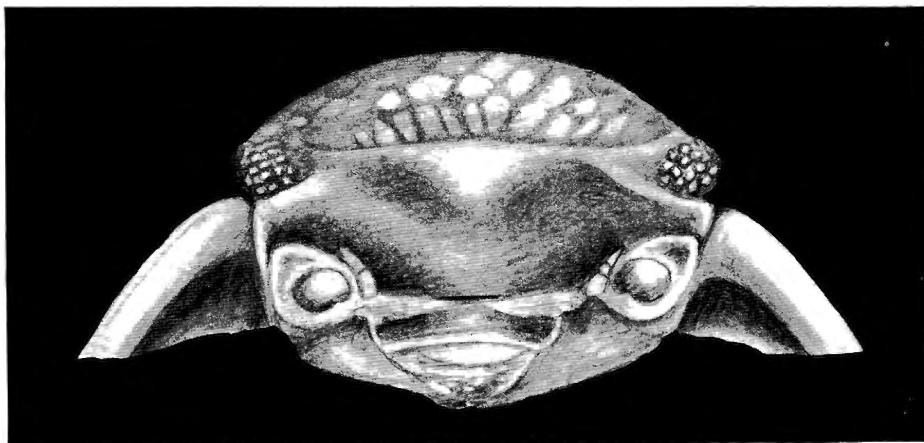


Fig. 170.

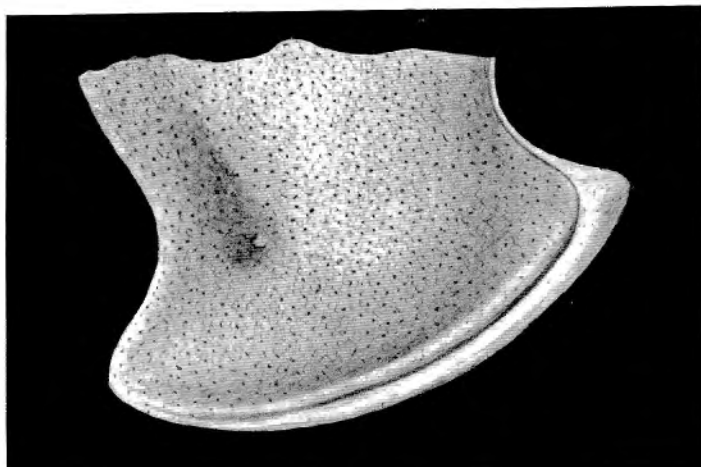


Fig. 171.

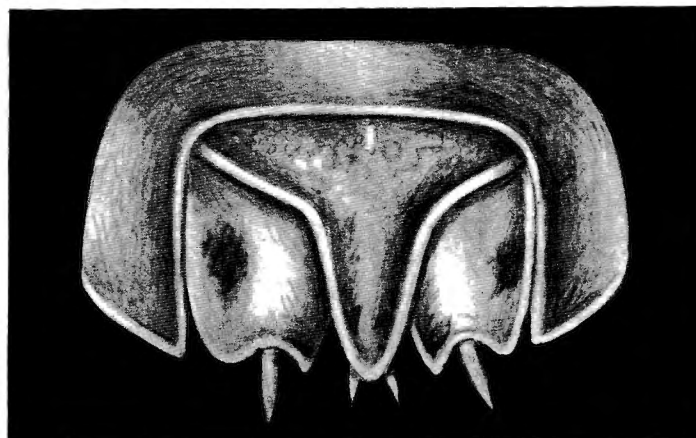


Fig. 172.

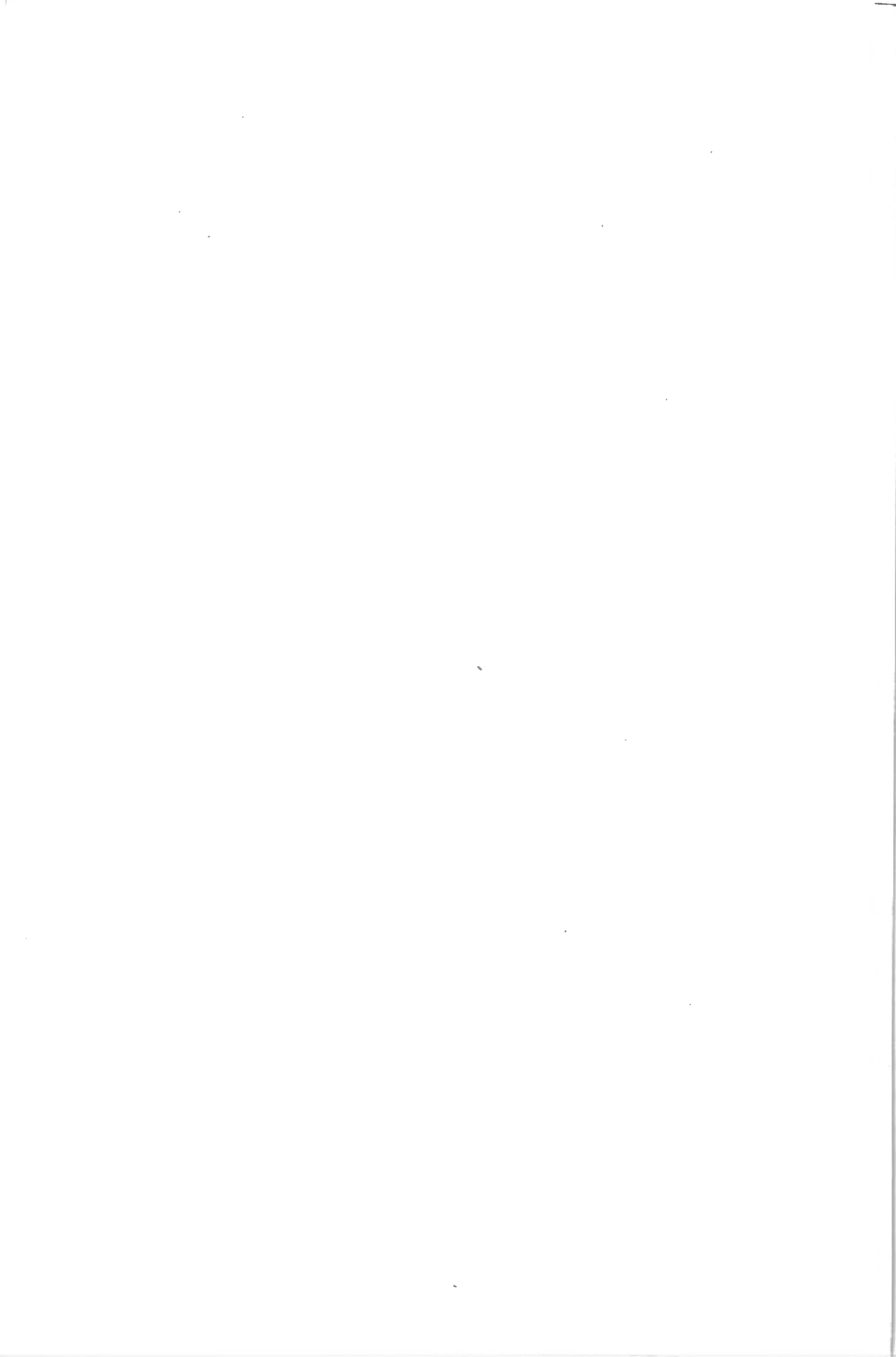


TAVOLA LXXVIII.

SPIEGAZIONE DELLE FIGURE.



*Perisacophoides pictus* ARCANDELLI.

Fig. 173. — Cephalon, visto dal dorso (x 30).

Fig. 174. — Epimere destro del 1° peronite, visto di lato e dorsalmente (x 28).

Fig. 175. — 2° pleonite, pleotelson ed uropodi, visti dal dorso (x 28).

A. ARCANDELLI del.

.IIIVXXI AJOVAT

SPIEGAZIONE DELLE FIGURE.

---

*Periscyphoides pictus* ARCANGELI.

Fig. 173. — Cephalon, visto dal dorso (x 30).

Fig. 174. — Epimere destro del 1° pereionite, visto di lato e dorsalmente (x 28).

Fig. 175. — 5° pleonite, pleotelson ed uropodi, visti dal dorso (x 28).

A. ARCANGELI del.

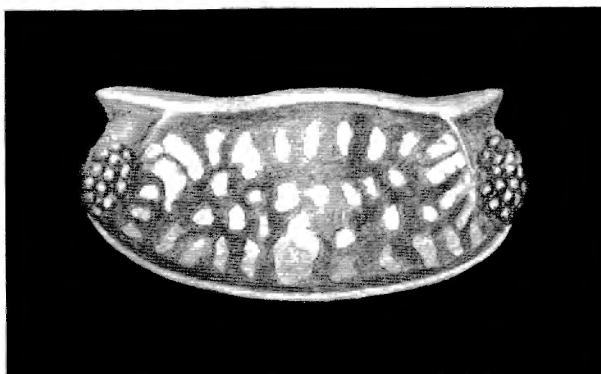


Fig. 173.

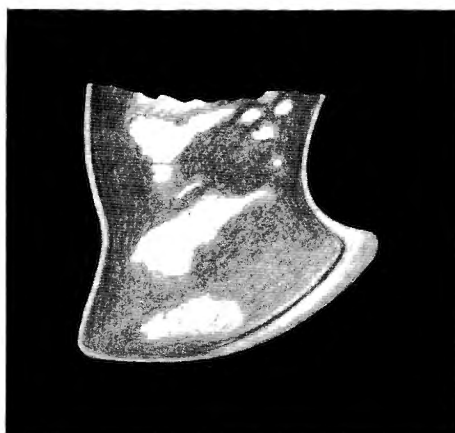


Fig. 174.

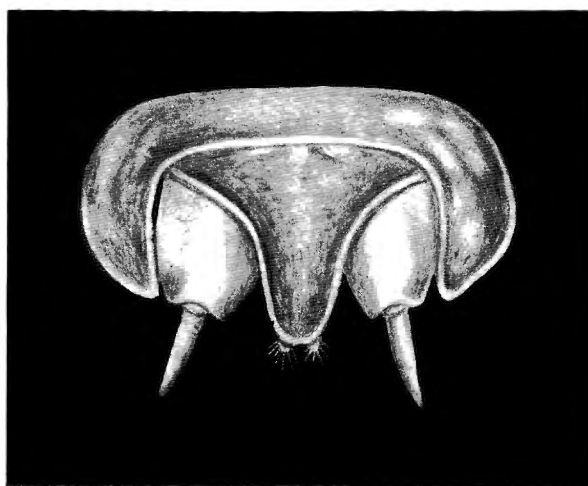


Fig. 175.





TAVOLA LXXIX.

SPIEGAZIONE DELLE FIGURE.



*Perisphroides pictus* ARCANDELLI.

Fig. 176. — Parte distale della lamina interna della 1<sup>a</sup> mascella destra, vista dal lato caudale (x 440).

Fig. 177. — Exopodite del 1<sup>o</sup> pleopode sinistro della ♀, vista dal lato rostrale (x 100).

Fig. 178. — Exopodite del 2<sup>o</sup> pleopode sinistro della ♀, visto dal lato rostrale (x 90).

A. ARCANDELLI del.

.LXXXI AJOVAT

SPIEGAZIONE DELLE FIGURE.

---

*Periscyphoides pictus* ARCANGELI.

Fig. 176. — Parte distale della lamina interna della 1<sup>a</sup> mascella destra, vista dal lato caudale (x 440).

Fig. 177. — Exopodite del 1<sup>o</sup> pleopode sinistro della ♀, vista dal lato rostrale (x 109).

Fig. 178. — Exopodite del 2<sup>o</sup> pleopode sinistro della ♀, visto dal lato rostrale (x 90).

A. ARCANGELI del.

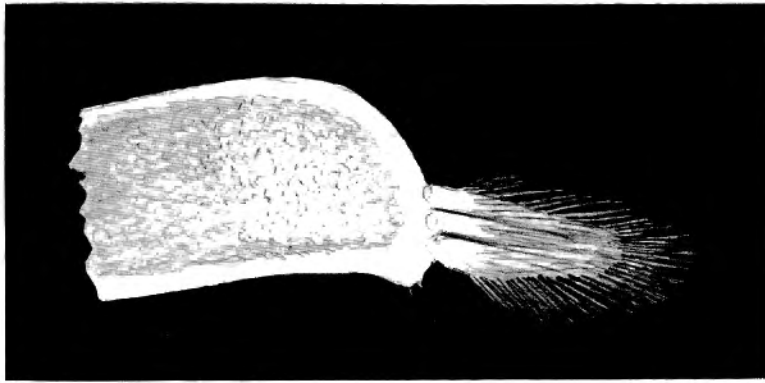


Fig. 176.

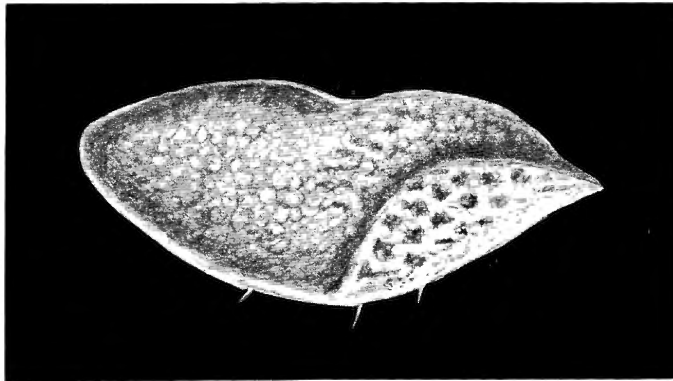


Fig. 177.

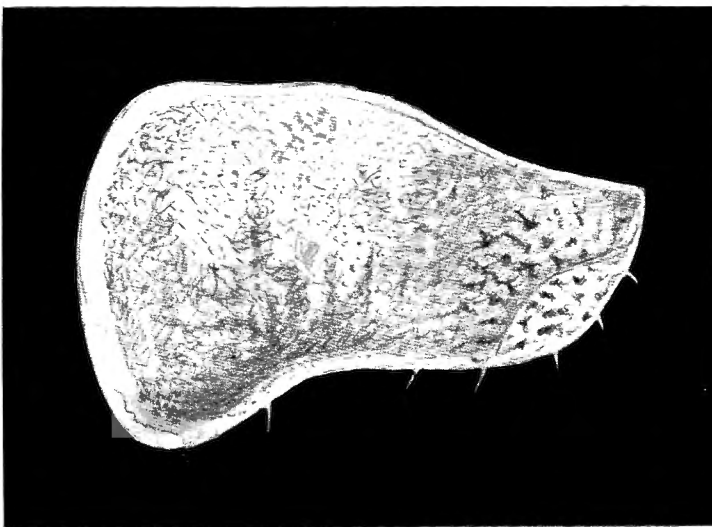


Fig. 178.

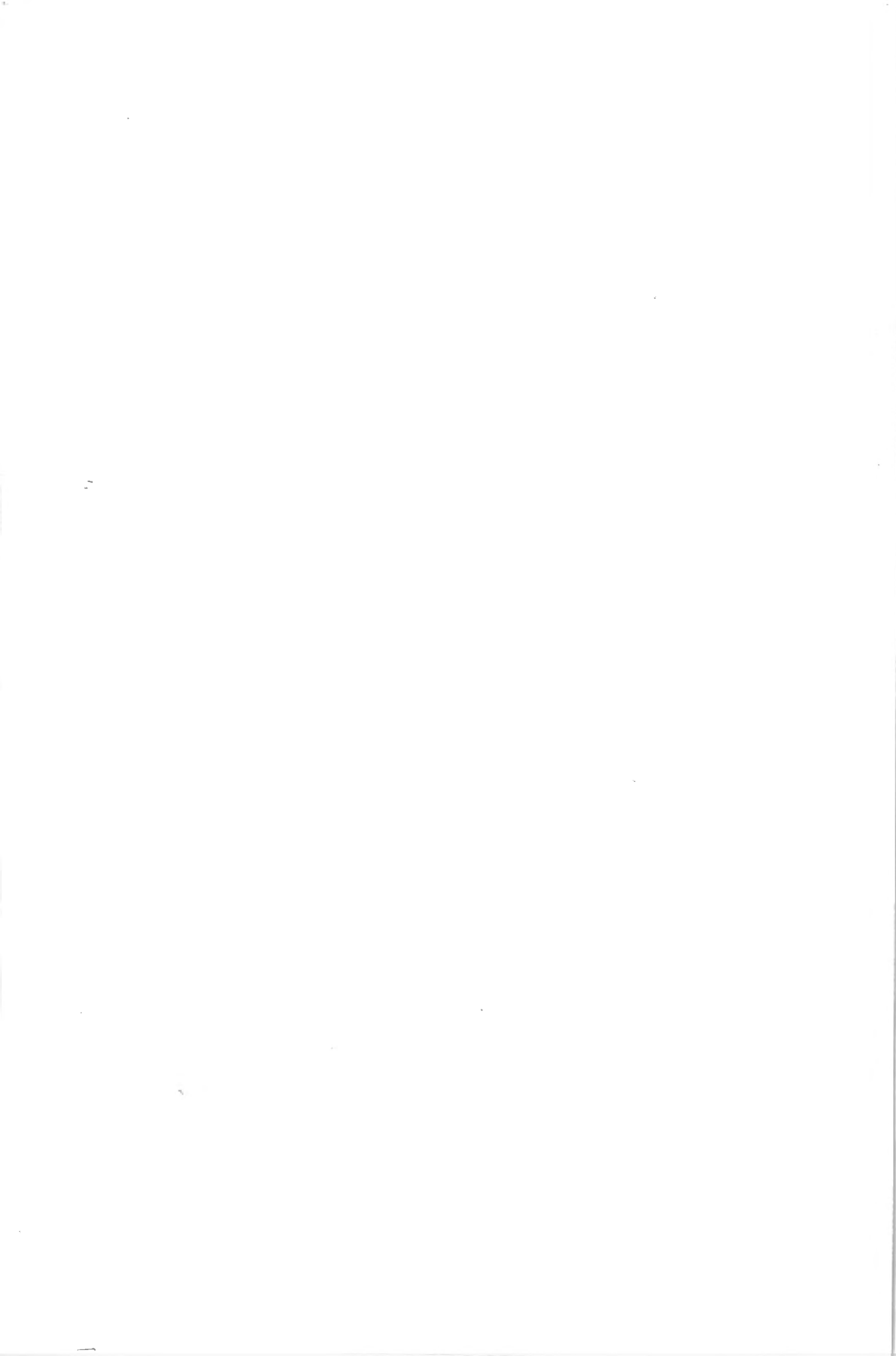


TAVOLA LXXX.

SPIEGAZIONE DELLE FIGURE.

*Perisphaps kalongensis* ARCANDELLI.

Fig. 179. — Cephalon e parte anteriore del 1° peronite, visti dal dorso (x 32).

Fig. 180. — Epimere destro del 1° peronite, visto di lato e dorsalmente (x 30).

Fig. 181. — 2° peronite, pleotelson ed uropodi, visti dal dorso (x 30).

A. ARCANDELLI del.

.XXXI AJOVAT

SPIEGAZIONE DELLE FIGURE.

*Periscyphis kalongensis* ARCANGELI.

Fig. 179. — Cephalon e parte anteriore del 1° pereionite, visti dal dorso (x 32).

Fig. 180. — Epimere destro del 1° pereionite, visto di lato e dorsalmente (x 30).

Fig. 181. — 5° pleonite, pleotelson ed uropodi, visti dal dorso (x 30).

A. ARCANGELI del.

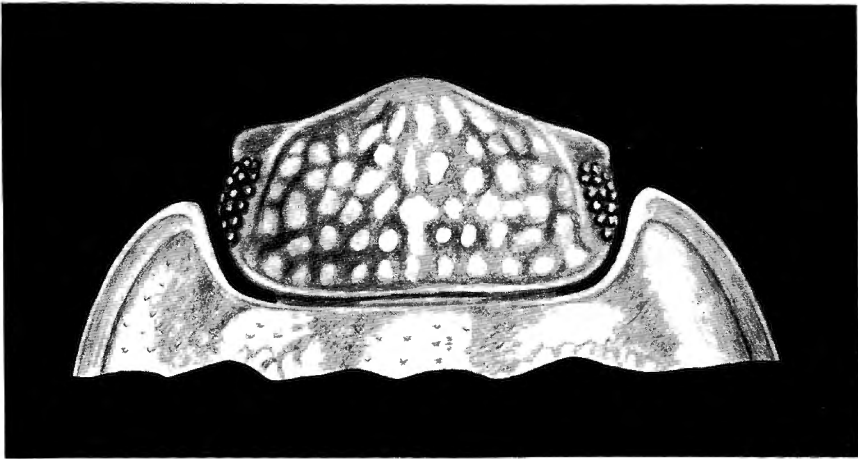


Fig. 179.

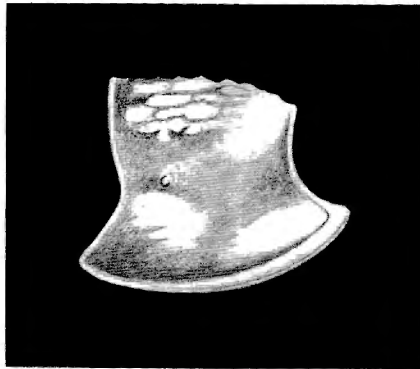


Fig. 180.

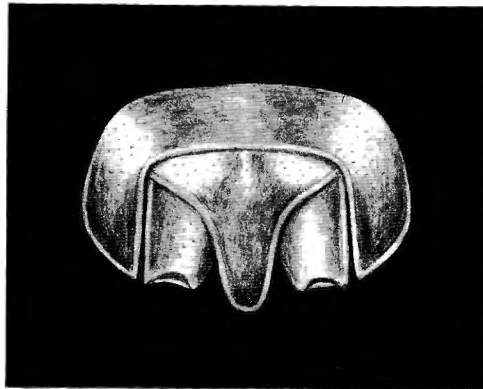


Fig. 181.





TAVOLA LXXXI.

SPIEGAZIONE DELLE FIGURE.

---

*Rhysocentrus globiceps* BUNDE-LUND.

Fig. 183. — 1° pereopode destro, visto dal lato rostrale  
(x 90).

A. ARCANGELI del.

.IXXXI A. IOVAT

SPIEGAZIONE DELLE FIGURE.

---

*Rhyscotus globiceps* BUDE-LUND.

Fig. 182. — 1° pereopode destro, visto dal lato rostrale  
(x 90).

A. ARCANGELI del.

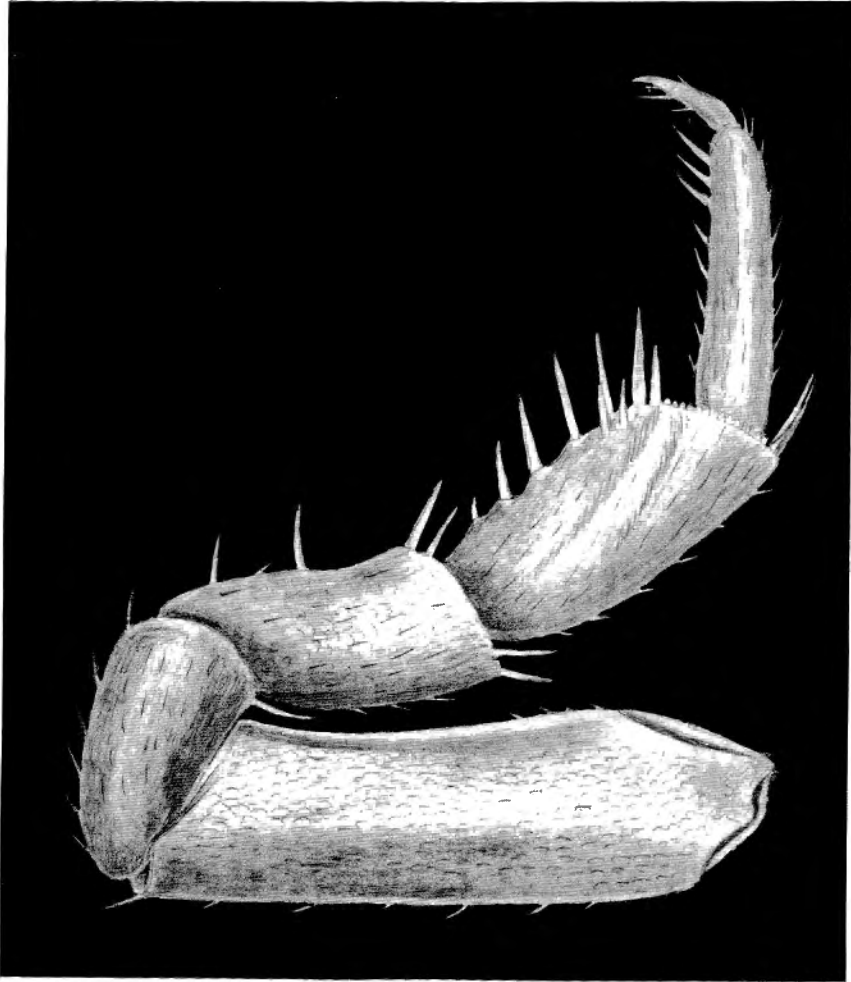


Fig. 182.



TAVOLA LXXXII.

SPIEGAZIONE DELLE FIGURE.

---

*Rhysocentrus globiceps* Bunde-rund.

Fig. 183. — 7° pericopode destro, visto dal lato rostrale

(x 90).

A. ARCANCELLI del.

.IIXXX.I AJOVAT

SPIEGAZIONE DELLE FIGURE.

—

*Rhyscotus globiceps* BUDE-LUND.

Fig. 183. — 7° pereopode destro, visto dal lato rostrale  
(x 90).

A. ARCANGELI del.

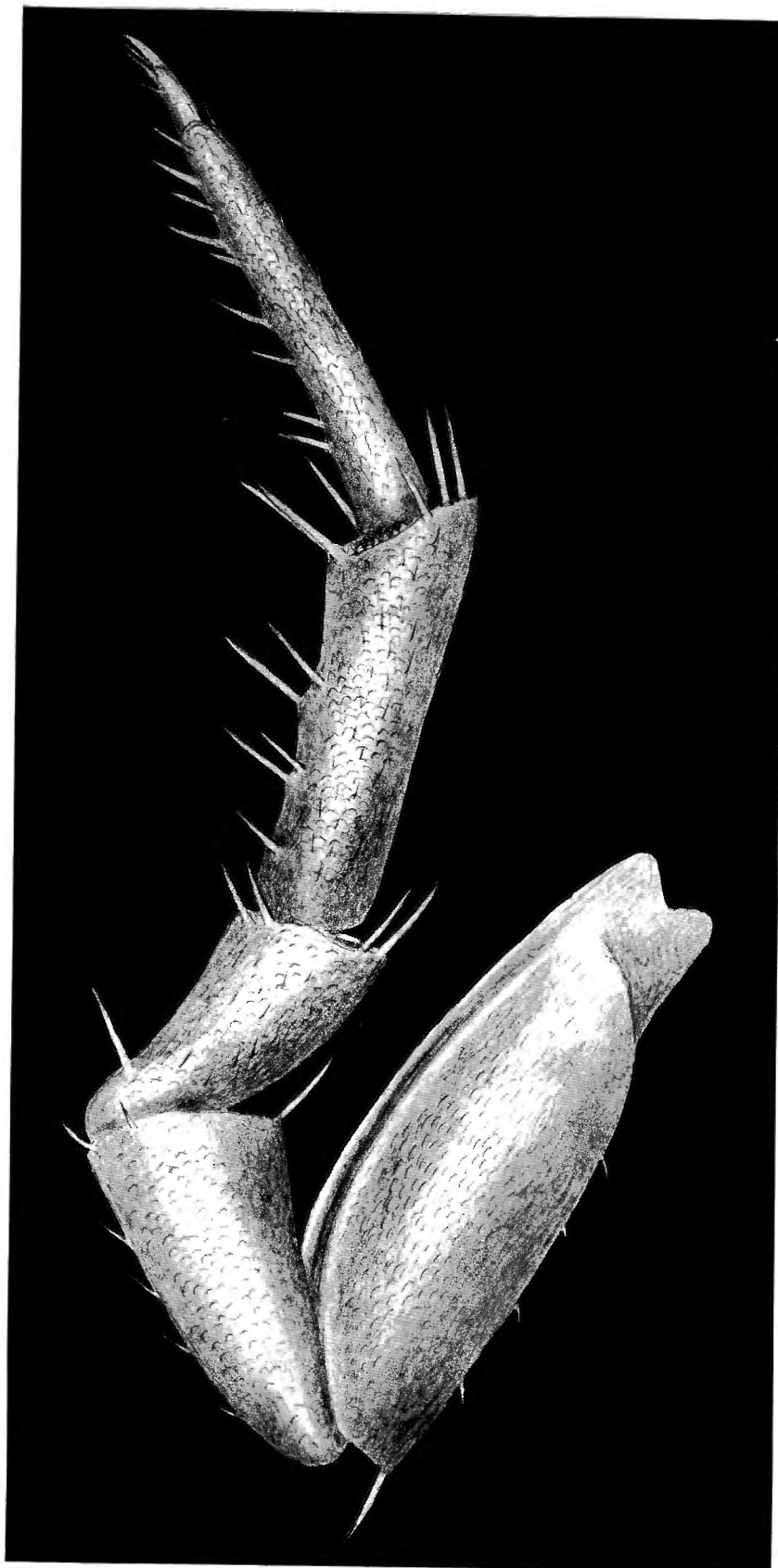


Fig. 183.





TAVOLA LXXXIII.

SPIEGAZIONE DELLE FIGURE.

*Rhysocentrus globiceps* BUNDE-LUND.

Fig. 184. — Parte distale del propodite ed unghia del 7°  
pericopode destro, visto dal lato rostrale  
(x 440).

Fig. 185. — Appendice calcinatoria, vista dal lato ro-  
strale (x 90).

Fig. 186. — 1° pleopode sinistro, visto dal lato rostrale  
(x 90).

A. ARCANDELLI del.

.IIIXXXI AJOVAT

SPIEGAZIONE DELLE FIGURE.

---

*Rhyscotus globiceps* BUDDE-LUND.

Fig. 184. — Parte distale del propodite ed unghia del 7° pereiopode destro, visto dal lato rostrale (x 440).

Fig. 185. — Appendice eiaculatoria, vista dal lato rostrale (x 90).

Fig. 186. — 1° pleopode sinistro, visto dal lato rostrale (x 90).

A. ARCANGELI del.

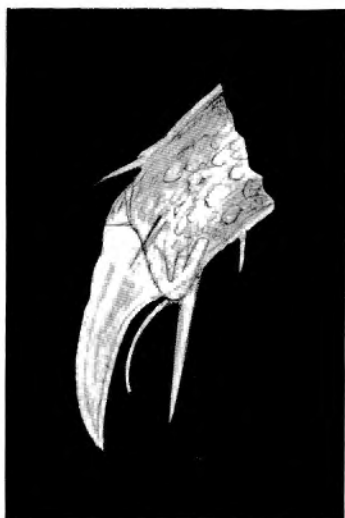


Fig. 184.

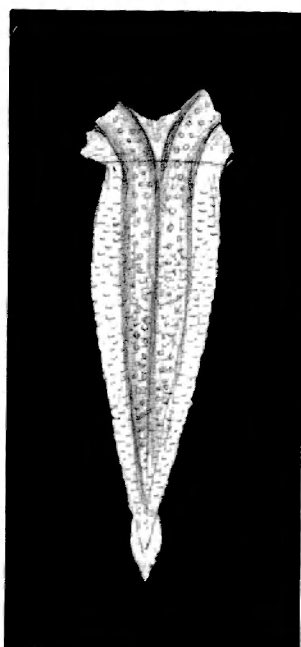


Fig. 185.

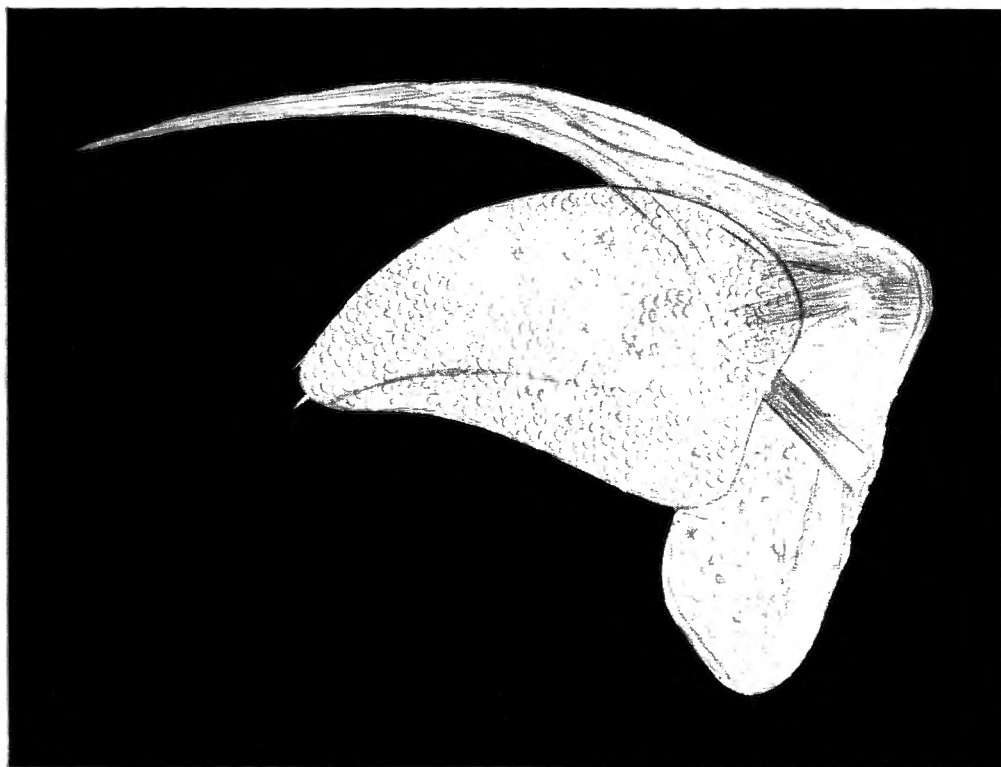


Fig. 186.



TAVOLA LXXXIV.

SPICCAZIONE DELLE FIGURE.

---

*Rhyscotus globiceps* BUDE-LUND.

Fig. 187. — *Exopodite* del 2° pleopode sinistro, visto  
dal lato rostrale.

A. ARCANGELI del.

.VIXXXI AJOVAT

SPIEGAZIONE DELLE FIGURE.

---

*Rhyscotus globiceps* BUDE-LUND.

Fig. 187. — Exopodite del 2° pleopode sinistro, visto dal lato rostrale.

A. ARCANGELI del.

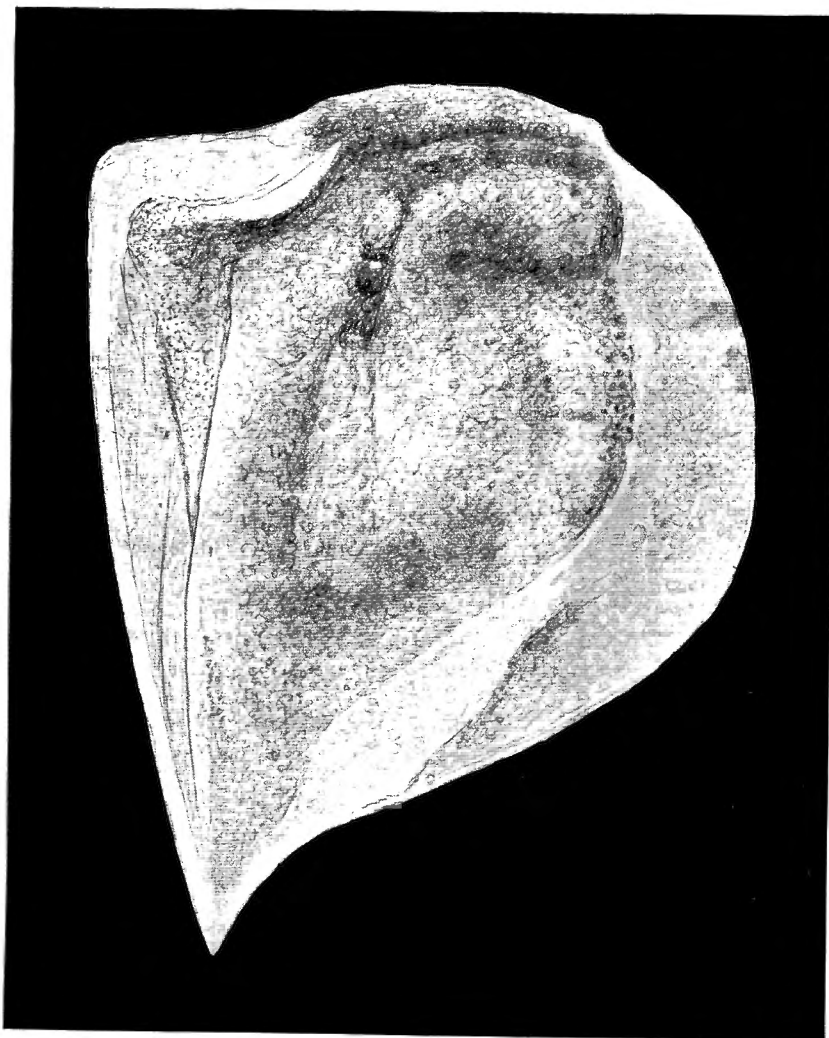


Fig. 187.

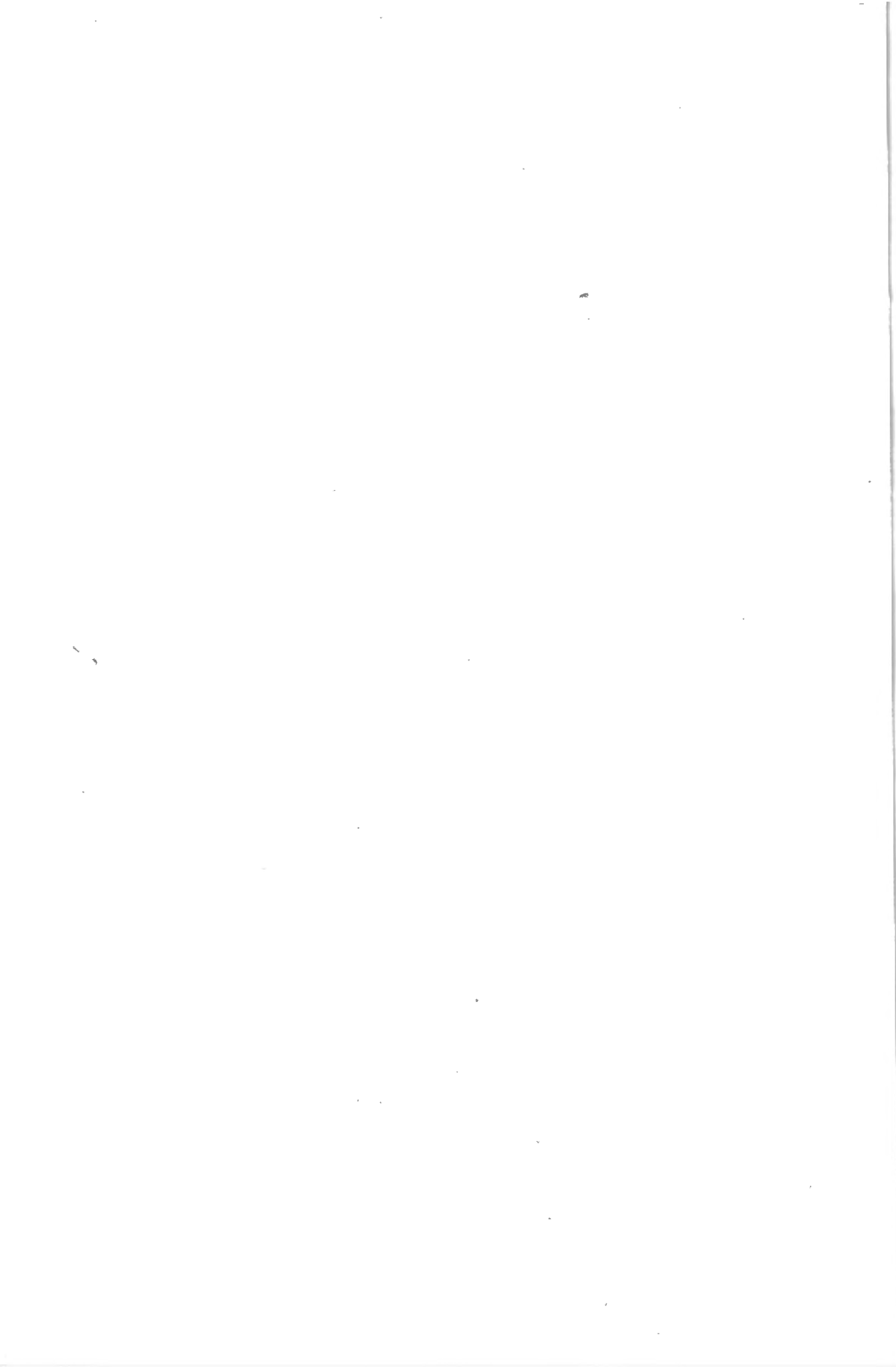




TAVOLA LXXXV.

SPIEGAZIONE DELLE FIGURE.

---

*Rhysocotus globiceps* BUDDENLUND.

Fig. 188. — Exopodite del 2° pleopode sinistro, visto  
dal lato caudale (x 90).

Fig. 189. — Endopodite del 2° pleopode sinistro, visto  
dal lato caudale (x 90).

A. ARCANGELI del.

.VXXXI A. JOVAT

SPIEGAZIONE DELLE FIGURE.

---

*Rhyscotus globiceps* BUDDE-LUND.

Fig. 188. — Exopodite del 2° pleopode sinistro, visto dal lato caudale (x 90).

Fig. 189. — Endopodite del 2° pleopode sinistro, visto dal lato caudale (x 90).

A. ARCANGELI del.



Fig. 189.

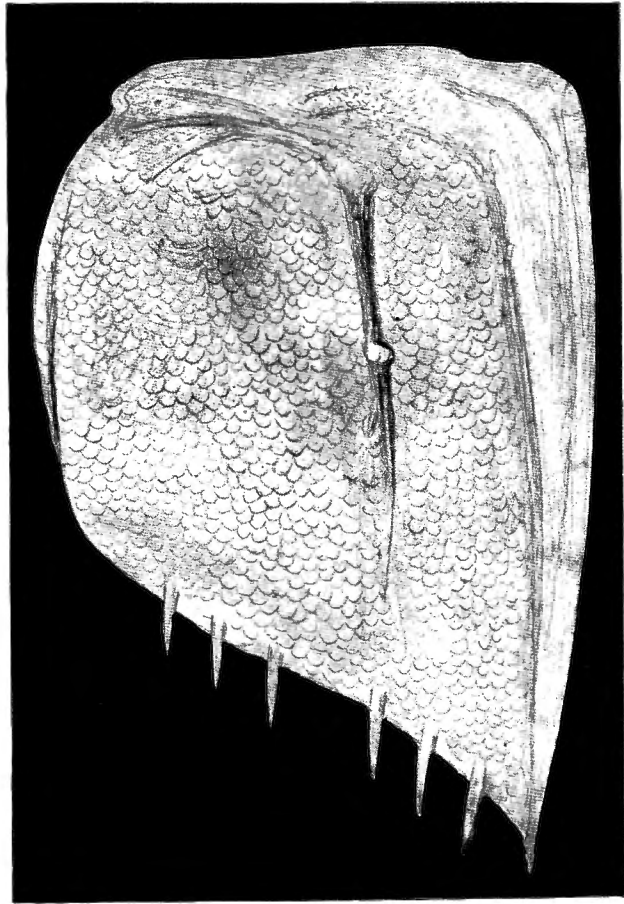


Fig. 188.



TAVOLA LXXXVI

SPIEGAZIONE DELLE FIGURE.

*Rhysocentrus globiceps* BUNDE-LUND.

Fig. 190. — Exopodite del 4° pleopode sinistro, visto  
dalla faccia caudale (x 90).

Fig. 191. — Exopodite del 5° pleopode sinistro, visto  
dalla faccia caudale (x 90).

A. ARCANDELLI del.

IVXXXI AJOVAT

SPIEGAZIONE DELLE FIGURE.

*Rhyscotus globiceps* BUDDE-LUND.

Fig. 190. — Exopodite del 4° pleopode sinistro, visto dalla faccia caudale (x 90).

Fig. 191. — Exopodite del 5° pleopode sinistro, visto dalla faccia caudale (x 90).

A. ARCANGELI del.

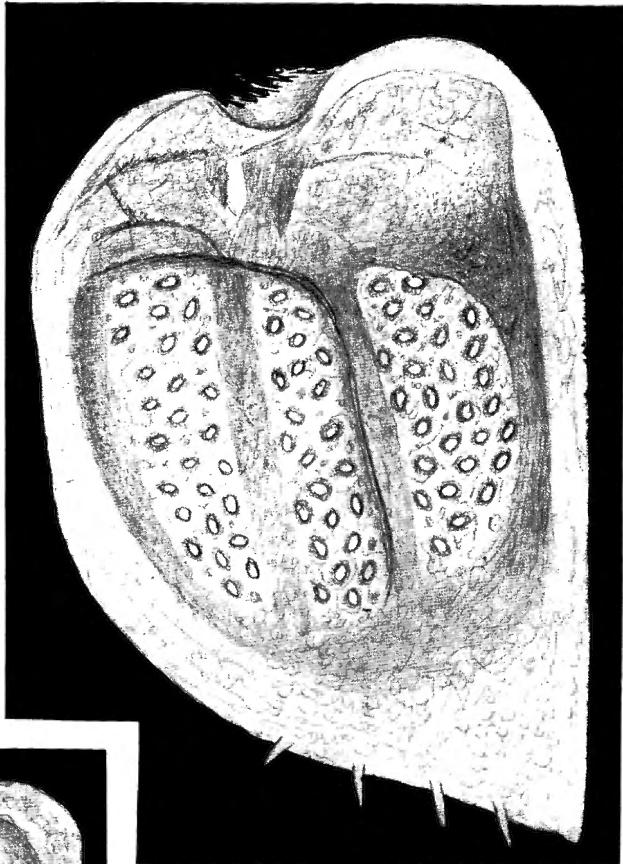


Fig. 190.

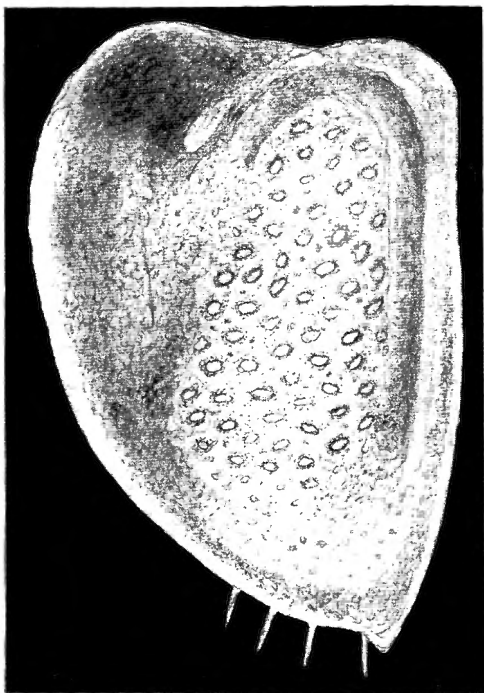


Fig. 191.





TAVOLA LXXXVII.

SPICCAZIONE DELLE FIGURE.

---

*Rhyscotus globiceps* BUDE-LUND.

Fig. 192. — Protopodite dell'uropode destro, visto dal ventre (x 90).

Fig. 193. — Uropode destro, visto dal dorso (x 90).

*Rhyscotoides Mondae* ARCANDELLI.

Fig. 194. — 5° pleonite, pleotelson ed uropodi, visti dal dorso (x 90).

A. ARCANDELLI del.

.IIVXXXI AJOVAT

SPIEGAZIONE DELLE FIGURE.

---

*Rhyscotus globiceps* BUDE-LUND.

Fig. 192. — Protopodite dell'uropode destro, visto dal ventre (x 90).

Fig. 193. — Uropode destro, visto dal dorso (x 90).

*Rhyscotoides Moandae* ARCANGELI.

Fig. 194. — 5° pleonite, pleotelson ed uropodi, visti dal dorso (x 90).

A. ARCANGELI del.

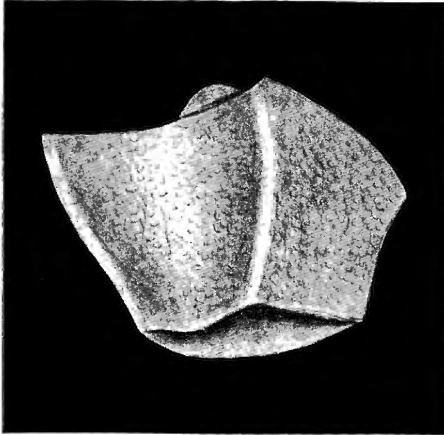


Fig. 192.

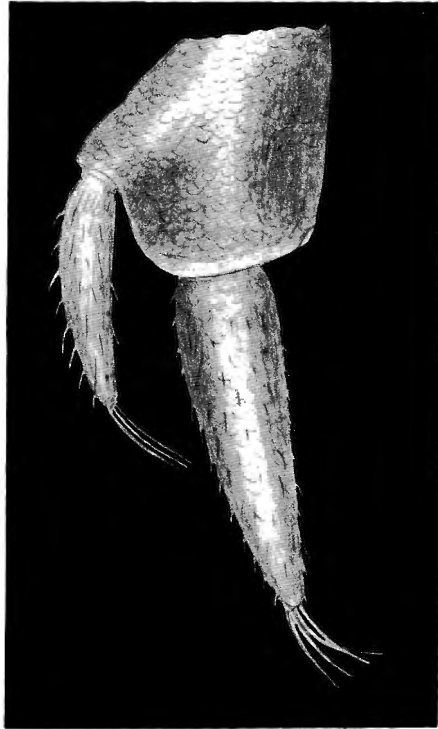


Fig. 193.

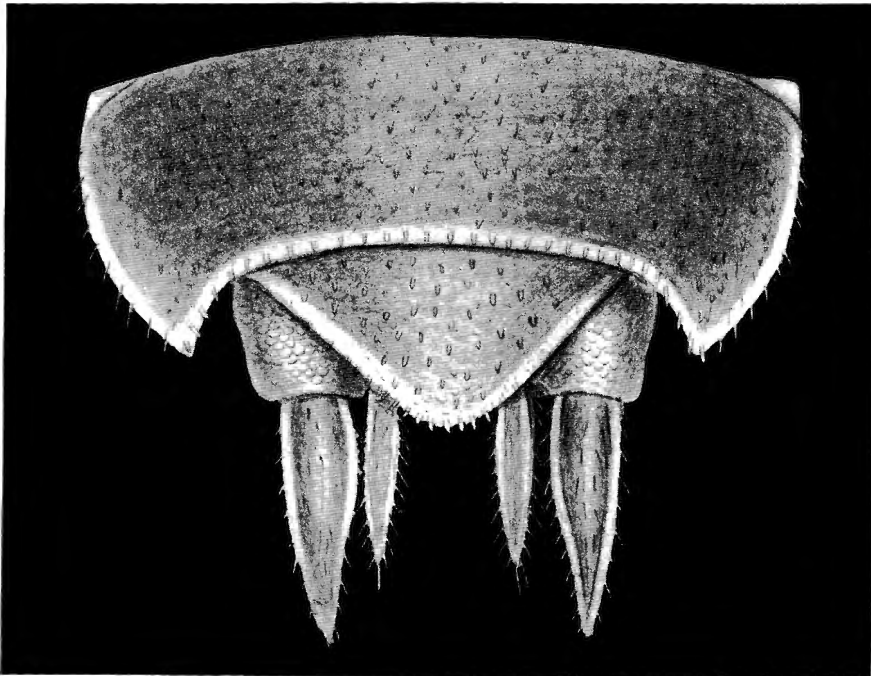


Fig. 194.



TAVOLA LXXXVIII.

SPIEGAZIONE DELLE FIGURE.

*Physcotoides Mordax* ARCANDELLI.

Fig. 195. — Antenna destra, vista dal dorso (x 90).

Fig. 196. — 2<sup>o</sup> mascella destra, vista dal lato caudale  
(x 120).

A. ARCANDELLI del.

.IIIVXXXI AJOVAT

SPIEGAZIONE DELLE FIGURE.

---

*Rhyscotoides Moandae* ARCANGELI.

Fig. 195. — Antenna destra, vista dal dorso (x 90).

Fig. 196. — 2° mascella destra, vista dal lato caudale  
(x 120).

A. ARCANGELI del.

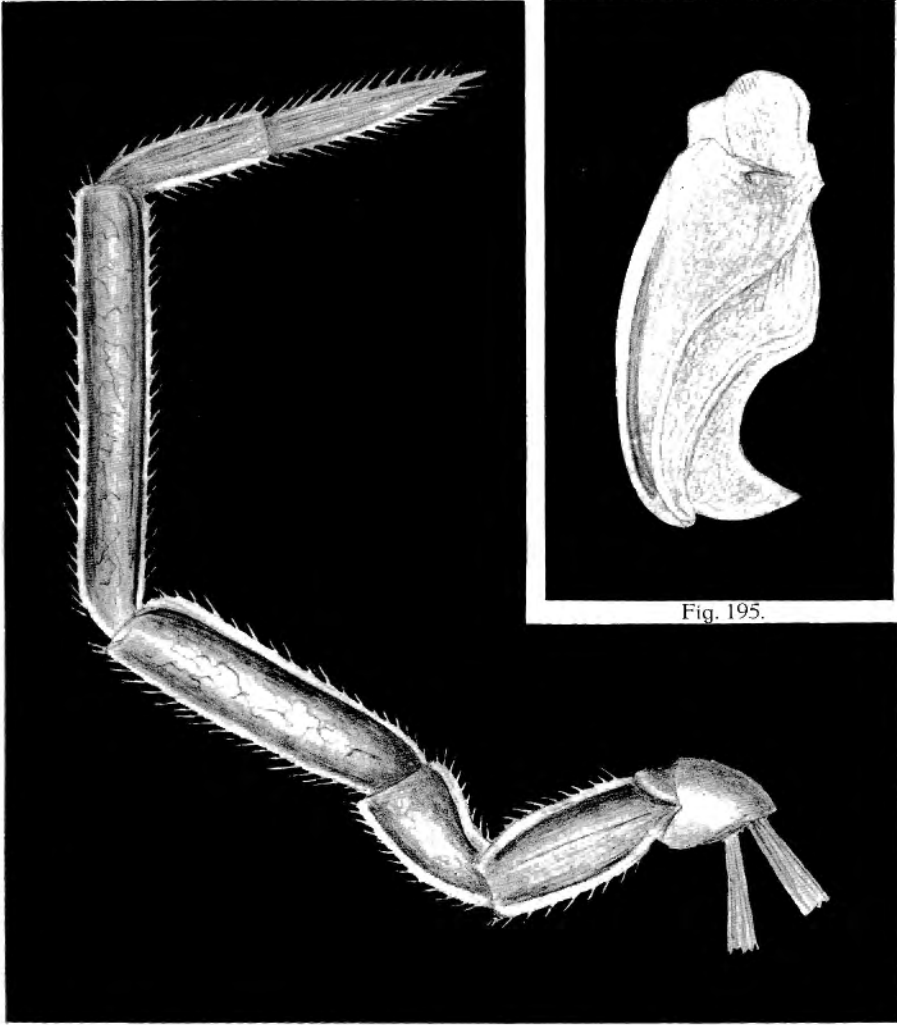


Fig. 195.

Fig. 196.

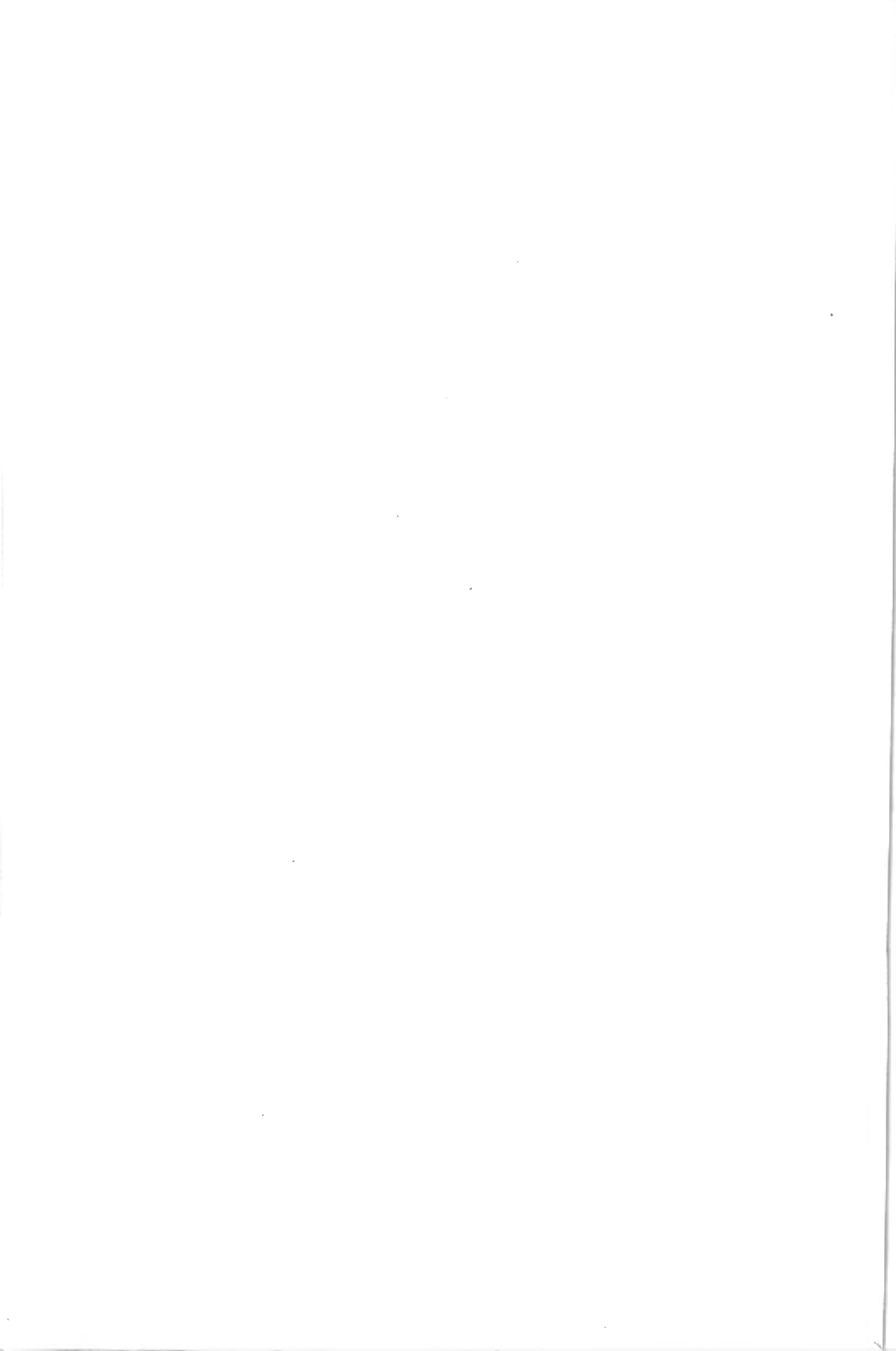




TAVOLA LXXXIX.

SPIEGAZIONE DELLE FIGURE.

—  
*Rhyscotoides Mowbray* ARCANCELLI.

Fig. 197. — Parte distale della 2<sup>a</sup> mascella destra, vista  
dal lato caudale (x 440).

Fig. 198. — Parte distale del massillipede destro, visto  
dal lato caudale (x 440).

A. ARCANCELLI del.

.XIXXXI AJOVAT

SPIEGAZIONE DELLE FIGURE.

---

*Rhyscotoides Moandae* ARCANGELI.

Fig. 197. — Parte distale della 2° mascella destra, vista dal lato caudale (x 440).

Fig. 198. — Parte distale del massillipede destro, visto dal lato caudale (x 440).

A. ARCANGELI del.

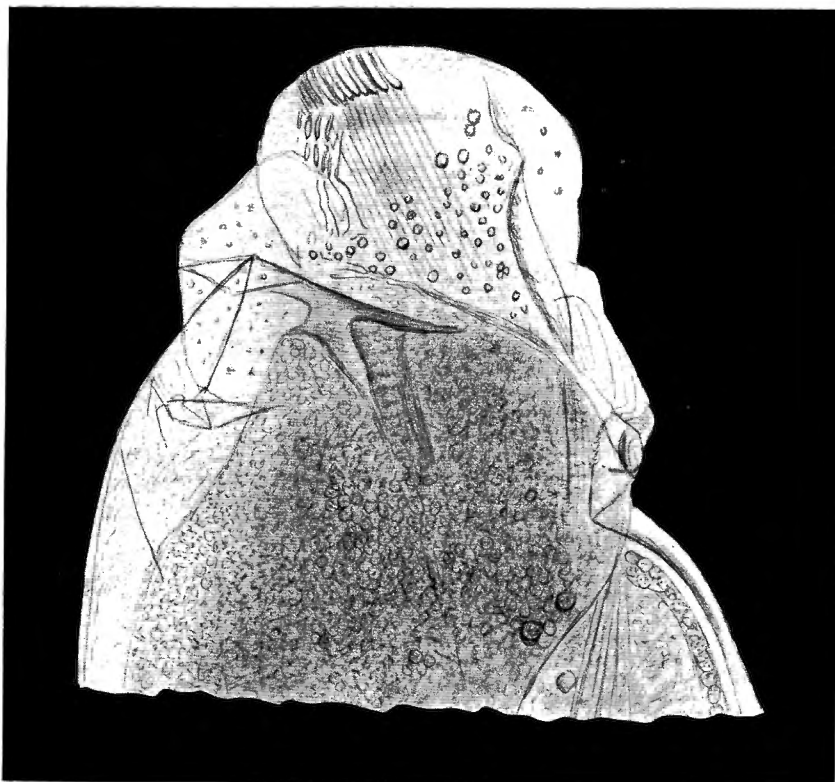


Fig. 197.

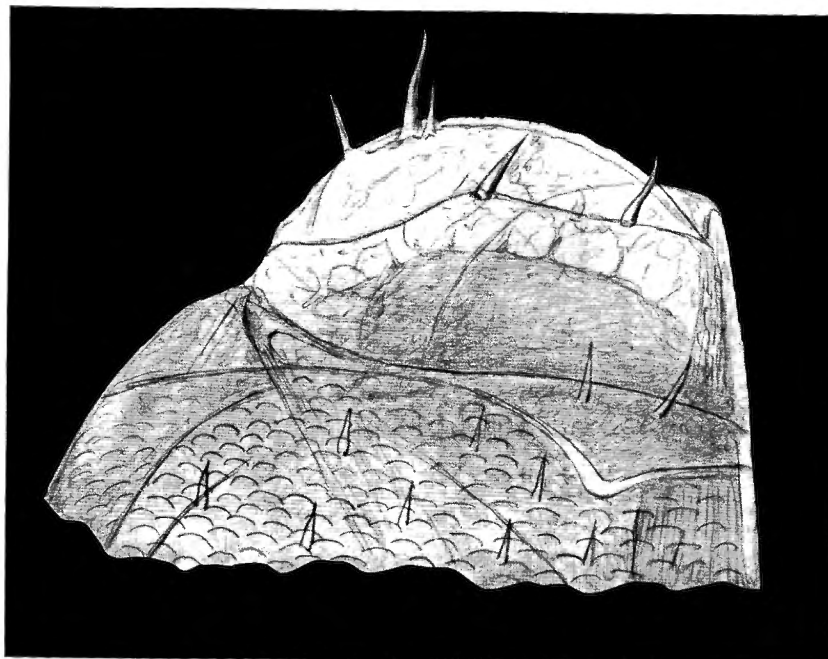


Fig. 198.

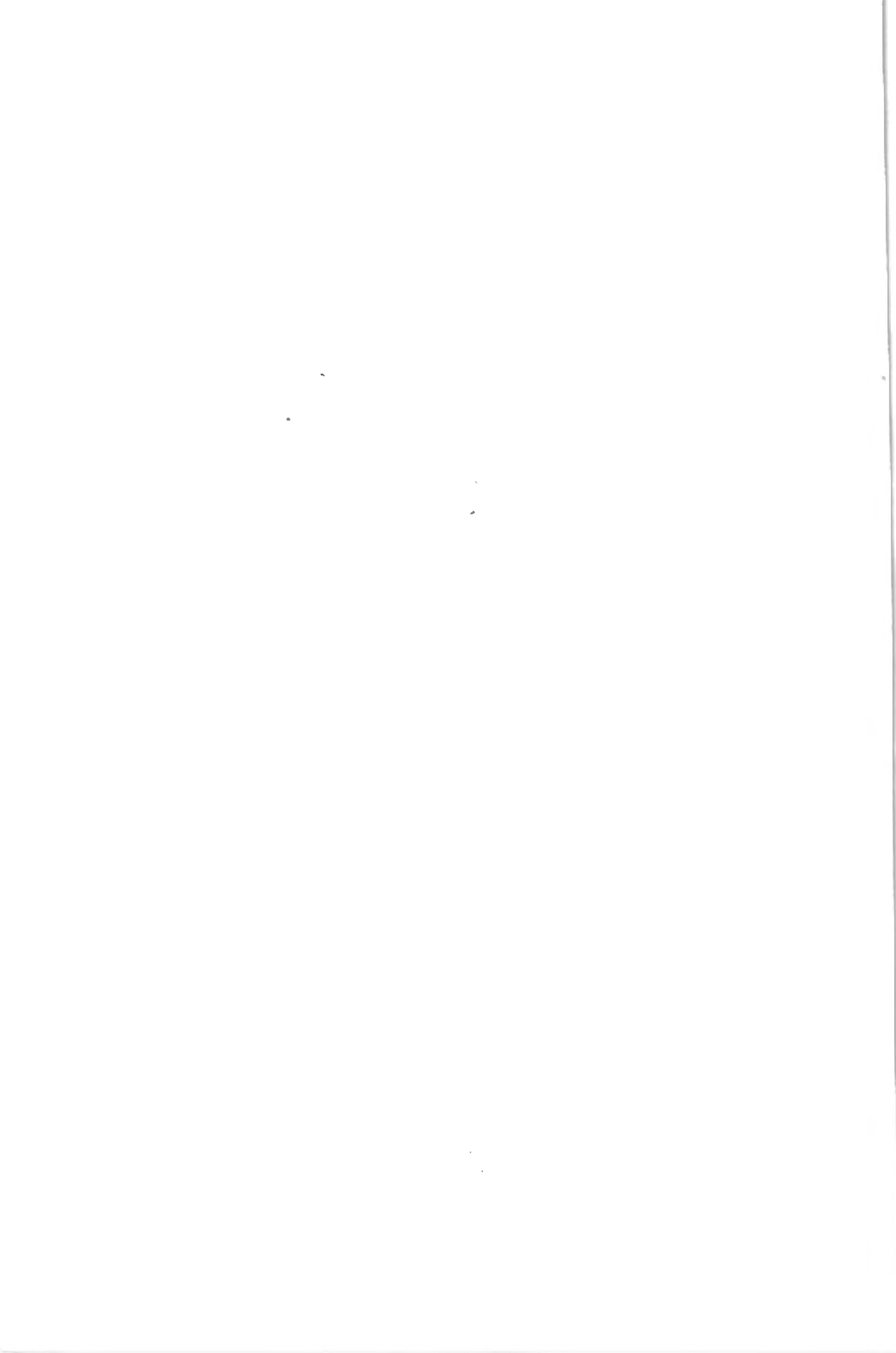


TAVOLA XC.

SPERCAZIONE DELLE FIGURE.

*Rhyscotoides Moudon* ARCANDELLI.

Fig. 199. — 1° perieopode destro, visto dal lato rostrale (x 90).

Fig. 200. — 7° perieopode sinistro, visto dal lato rostrale (x 90).

Fig. 201. — Parte distale del propodite, dattilopodite ed unghia con annessa lamina a copetta del 7° perieopode destro, visto dal lato rostrale (x 440).

Fig. 202. — Appendice esculturata, vista dal lato rostrale (x 180).

A. ARCANDELLI del.

## .OX AJOVAT

### SPIEGAZIONE DELLE FIGURE.

---

#### *Rhyscotoides Moandae* ARCANGELI.

Fig. 199. — 1° pereopode destro, visto dal lato rostrale (x 90).

Fig. 200. — 7° pereopode sinistro, visto dal lato rostrale (x 90).

Fig. 201. — Parte distale del propodite, dattilopodite ed unghia con annessa fanera a coppetta del 7° pereopode destro, visto dal lato rostrale (x 440).

Fig. 202. — Appendice eiaculatoria, vista dal lato rostrale (x 180).

A. ARCANGELI del.

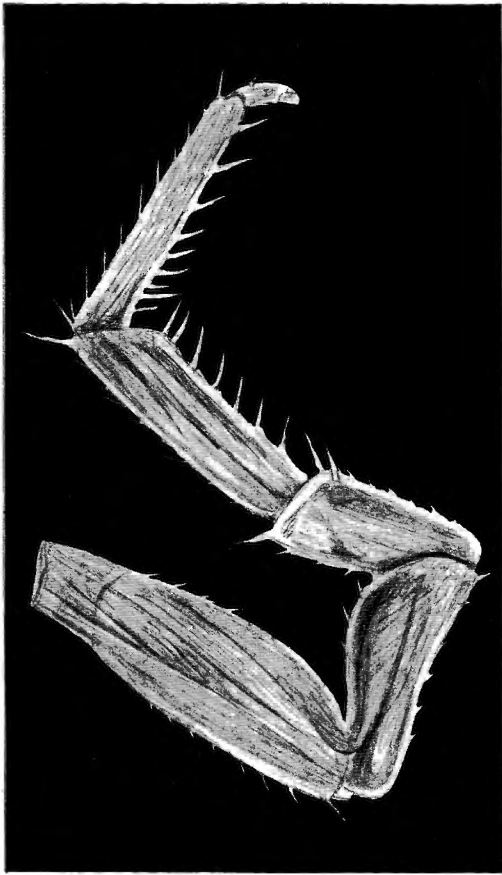


Fig. 200.

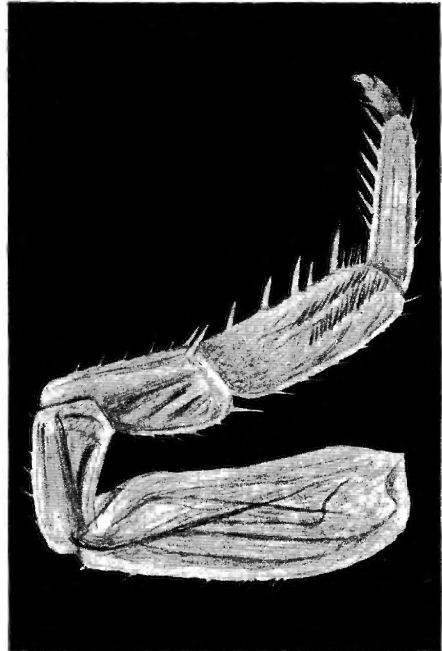


Fig. 199.



Fig. 201.

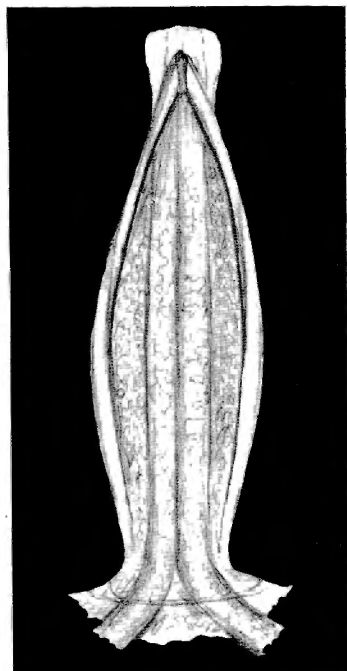


Fig. 202.





TAVOLA XCI.

SPIEGAZIONE DELLE FIGURE.

*Rhyscotoides Mondax* ARCANDELLI.

Fig. 203. — 1° pleopode destro, visto dal lato rostrale  
(x 90).

Fig. 204. — Endopodite del 2° pleopode destro, visto  
dal lato rostrale (x 90).

Fig. 205. — Exopodite del 2° pleopode destro, visto dal  
lato rostrale (x 90).

Fig. 206. — Uropode destro, visto dal dorso (x 90).

A. ARCANDELLI del.

.IOX AJOVAT

SPIEGAZIONE DELLE FIGURE.

---

*Rhyscotoides Moandae* ARCANGELI.

Fig. 203. — 1° pleopode destro, visto dal lato rostrale (x 90).

Fig. 204. — Endopodite del 2° pleopode destro, visto dal lato rostrale (x 90).

Fig. 205. — Exopodite del 5° pleopode destro, visto dal lato rostrale (x 90).

Fig. 206. — Uropode destro, visto dal dorso (x 90).

A. ARCANGELI del.



Fig. 204.

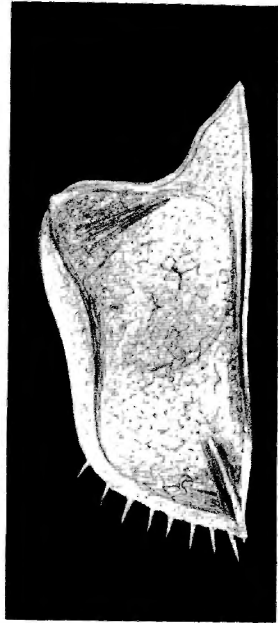


Fig. 205.

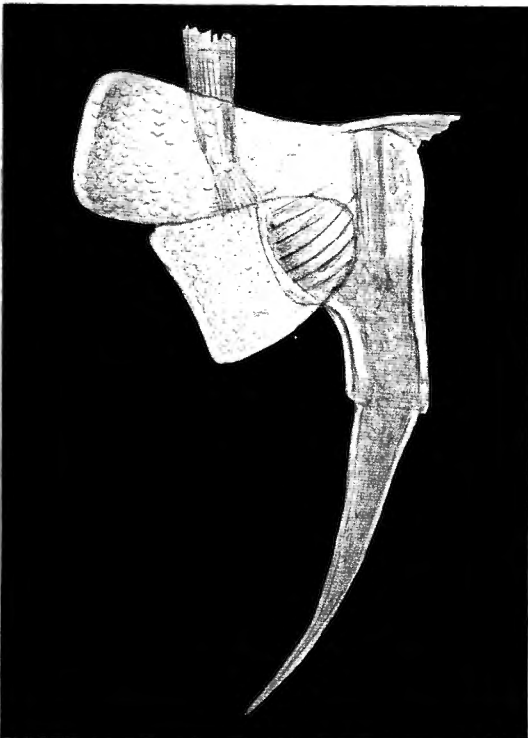


Fig. 203.

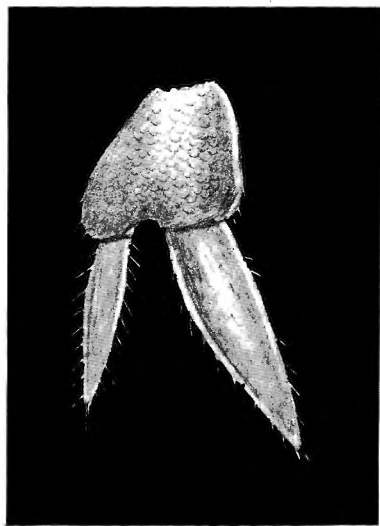


Fig. 206.

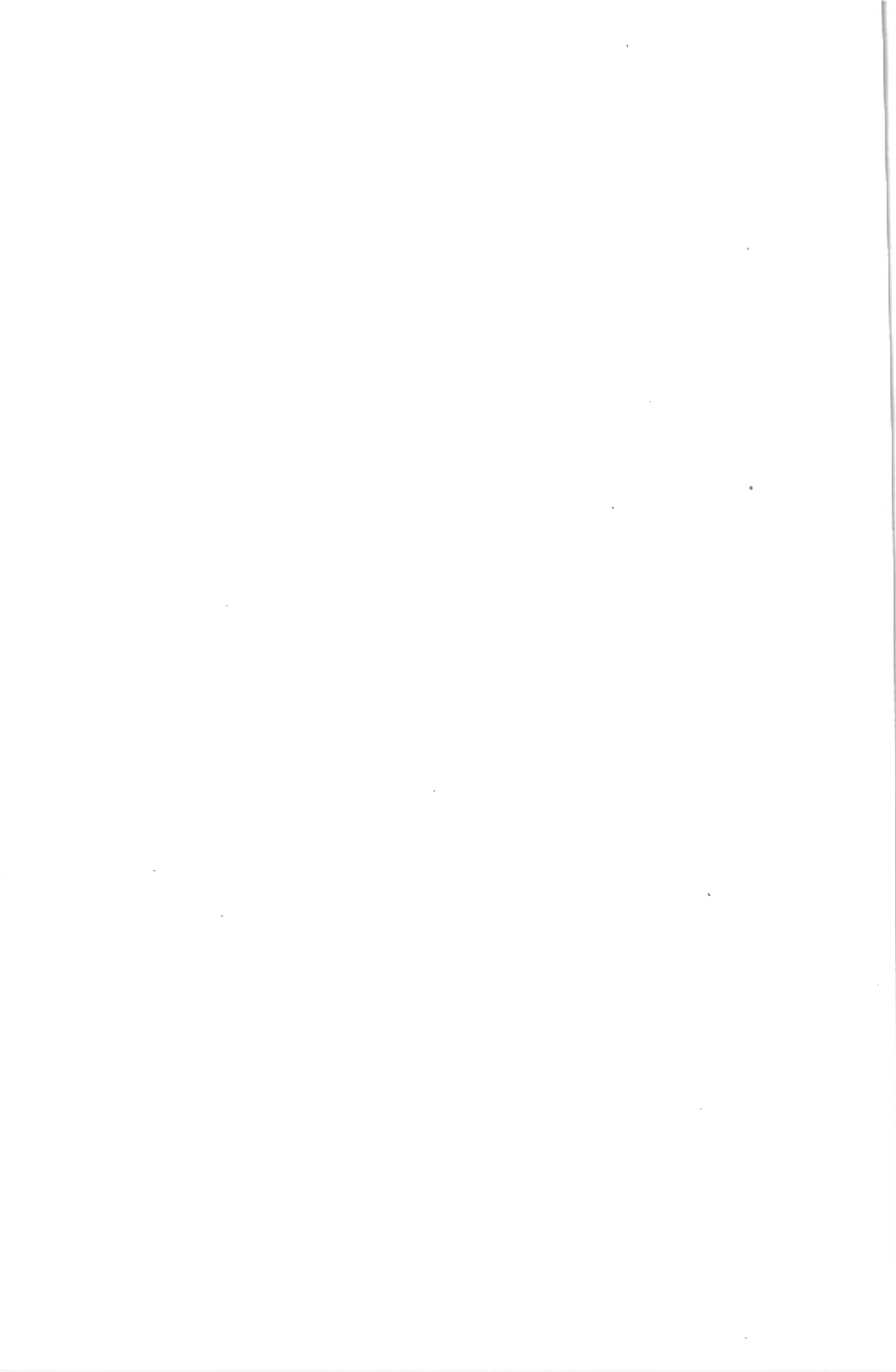


TAVOLA XCII.

SPIEGAZIONE DELLE FIGURE.

*Rhyscotoides Silvestrii* ARCANDELLI.

Fig. 207. — Parte distale del massillipede destro, visto dal lato caudale (x 440).

Fig. 208. — Parte distale del propodite, dattilopodite con unghia e fanera a copretta, del 7° pereopode destro, vista dal lato rostrale (x 440).

Fig. 209. — Parte distale del propodite, dattilopodite con unghia e fanera a copretta (in fondo) alla quale si attacca il tendine del muscolo) del 7° pereopode sinistro, visto dal lato rostrale (x 628).

A. ARCANDELLI del.

.IIIX AJOVAT

SPIEGAZIONE DELLE FIGURE.

---

*Rhyscotoides Silvestrii* ARCANGELI.

Fig. 207. — Parte distale del massillipede destro, visto dal lato caudale (x 440).

Fig. 208. — Parte distale del propodite, dattilopodite con unghia e fanera a coppetta, del 7° pereopode destro, vista dal lato rostrale (x 440).

Fig. 209. — Parte distale del propodite, dattilopodite con unghia e fanera a coppetta (in fondo alla quale si attacca il tendine del muscolo) del 7° pereopode sinistro, visto dal lato rostrale (x 628).

A. ARCANGELI del.

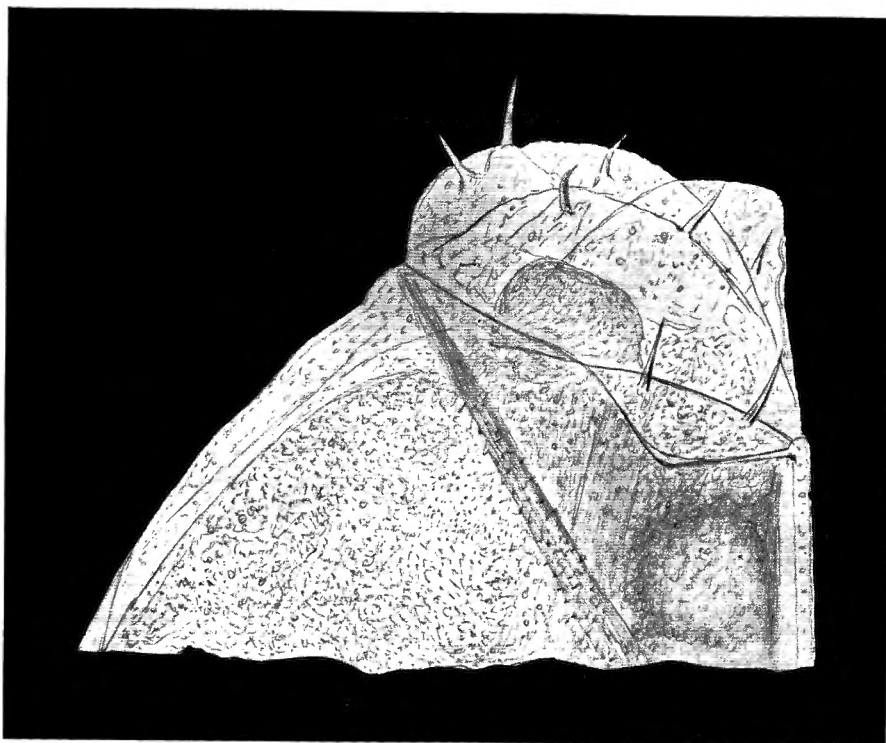


Fig. 207.

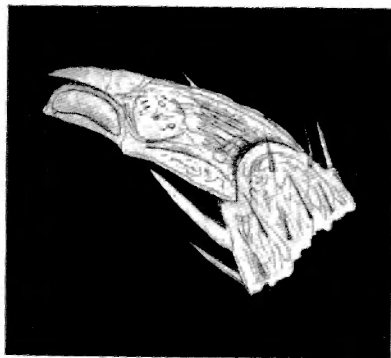


Fig. 208.

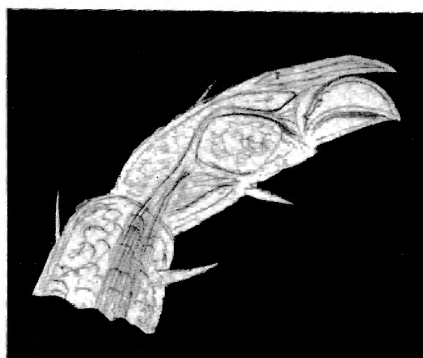


Fig. 209.





TAVOLA XCIII

SPIEGAZIONE DELLE FIGURE.



*Rhynchotoidea Silvestrii* ARCANCELLI.

Fig. 210. — 1° paio di pleopodi con appendice ciascuna-toria (mediana), vista dal lato rostrale (x 90).

Fig. 211. — 2° pleopode destro, visto dal lato rostrale (x 90).

Fig. 212. — 4° paio di pleopodi, visti dal lato rostrale (x 90).

A. ARCANCELLI del.

IIIIX AJOVAT

SPIEGAZIONE DELLE FIGURE.

---

*Rhyscotoides Silvestrii* ARCANGELI.

Fig. 210. — 1° paio di pleopodi con appendice eiaculatore (mediana), vista dal lato rostrale (x 90).

Fig. 211. — 2° pleopode destro, visto dal lato rostrale (x 90).

Fig. 212. — 4° paio di pleopodi, visti dal lato rostrale (x 90).

A. ARCANGELI del.

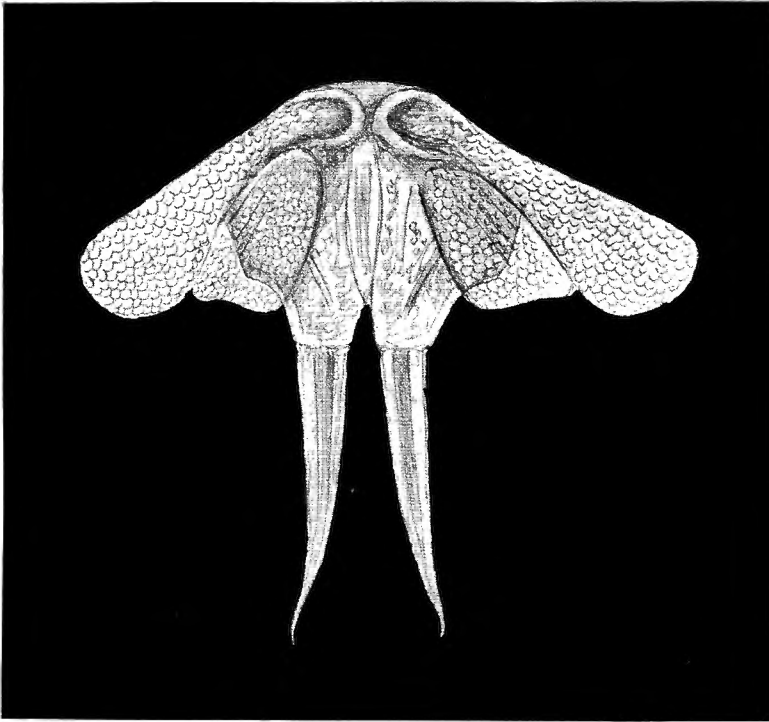


Fig. 210.

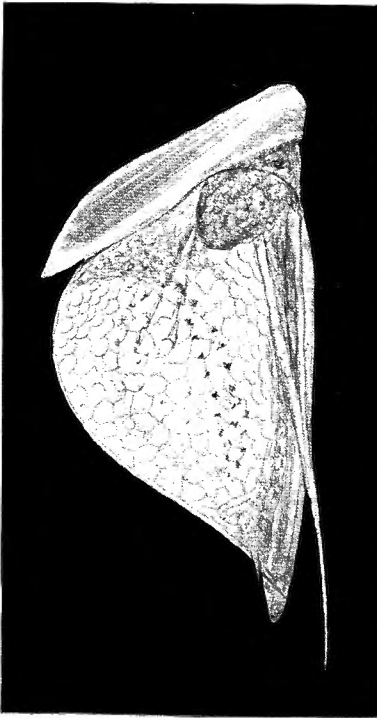


Fig. 211.

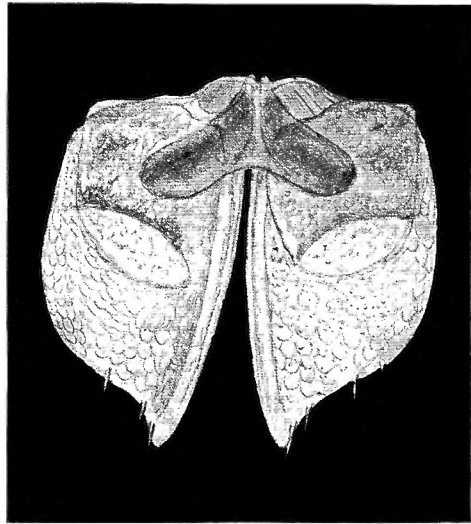


Fig. 212.



TAVOLA XCIV.

SPICCAZIONE DELLE FIGURE.

*Rhyscotoides silvestrii* ARCANDELLI.

Fig. 213. — *Exopodite* del 2° pleopode sinistra, visto dal lato caudale (x 90).

*Termocellio concoloris* ARCANDELLI.

Fig. 214. — Lobo frontale sinistra con occhio, visto dal dorso (x 90).

Fig. 215. — 2° pleonite, pleotelson ed uropodi, visti dal dorso (x 34).

A. ARCANDELLI del.

VIOX AJOVAT

SPIEGAZIONE DELLE FIGURE.

---

*Rhyscotoides Silvestrii* ARCANGELI.

Fig. 213. — Exopodite del 5° pleopode sinistro, visto dal lato caudale (x 90).

*Termocellio congolensis* ARCANGELI.

Fig. 214. — Lobo frontale sinistro con occhio, visto dal dorso (x 90).

Fig. 215. — 5° pleonite, pleotelson ed uropodi, visti dal dorso (x 34).

A. ARCANGELI del.

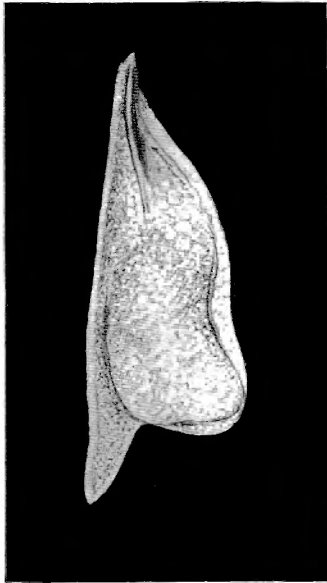


Fig. 213.

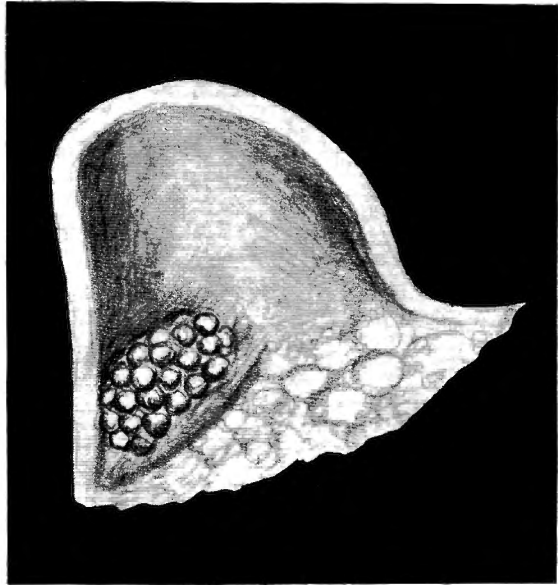


Fig. 214.

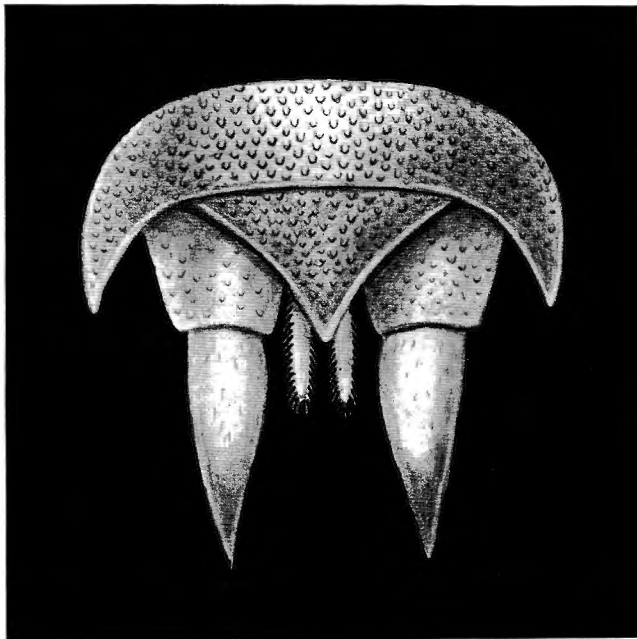


Fig. 215.





TAVOLA XCV.

SPIEGAZIONE DELLE FIGURE.

---

*Termodellio congolensia* ARCANCELLI.

Fig. 216. — Lamina interna della 1<sup>o</sup> mascella sinistra, vista dal lato caudale (x 330).

Fig. 217. — Tre aculeoscole del margine mediale del carpopodite del 1<sup>o</sup> pereopode sinistro del ♂, visto dal lato rostrale (x 330).

Fig. 218. — Exopodite del 1<sup>o</sup> pleopode destro del ♂, visto dal lato rostrale (x 90).

A. ARCANCELLI del.

VOX AJOVAT

SPIEGAZIONE DELLE FIGURE.

---

*Termocellio congolensis* ARCANGELI.

Fig. 216. — Lamina interna della 1° mascella sinistra, vista dal lato caudale (x 330).

Fig. 217. — Tre aculeosetole del margine mediale del carpopodite del 1° pereopode sinistro del  $\sigma$ , visto dal lato rostrale (x 330).

Fig. 218. — Exopodite del 1° pleopode destro del  $\sigma$ , visto dal lato rostrale (x 90).

A. ARCANGELI del.

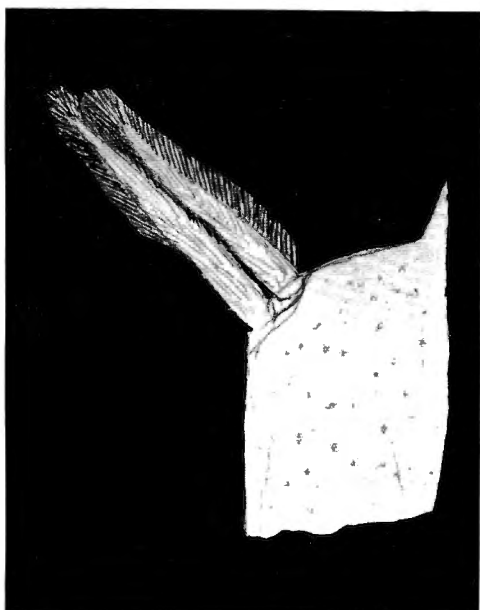


Fig. 216.



Fig. 217.

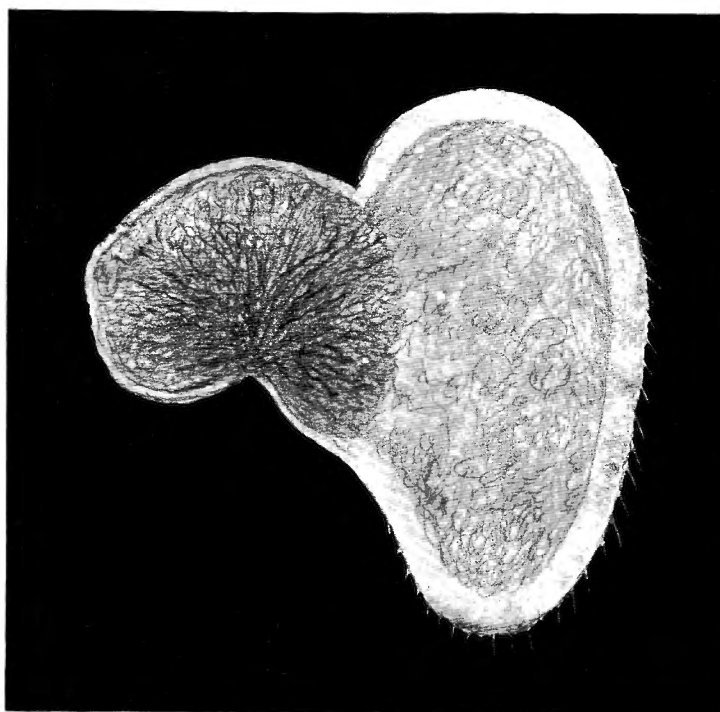


Fig. 218.



TAVOLA XCVI.

SPIEGAZIONE DELLE FIGURE.

---

*Termocellio congolensis* ARCANDELLI.

Fig. 219. — Parte distale dell'endopodite del 1° pleopode sinistralo del ♂, visto dal lato rostrale (x 330).

Fig. 220. — 1, exopodite del 1° pleopode sinistralo; 2, exopodite del 2° pleopode destro, ambedue della ♀, visti dal lato rostrale (x 90).

A. ARCANDELLI del.

.IVOX AJOVAT

SPIEGAZIONE DELLE FIGURE.

---

*Termocellio congolensis* ARCANGELI.

Fig. 219. — Parte distale dell'endopodite del 1° pleopode sinistro del  $\sigma$ , visto dal lato rostrale (x 330).

Fig. 220. — 1, exopodite del 1° pleopode sinistro; 2, exopodite del 2° pleopode destro, ambedue della  $\varphi$ , visti dal lato rostrale (x 90).

A. ARCANGELI del.

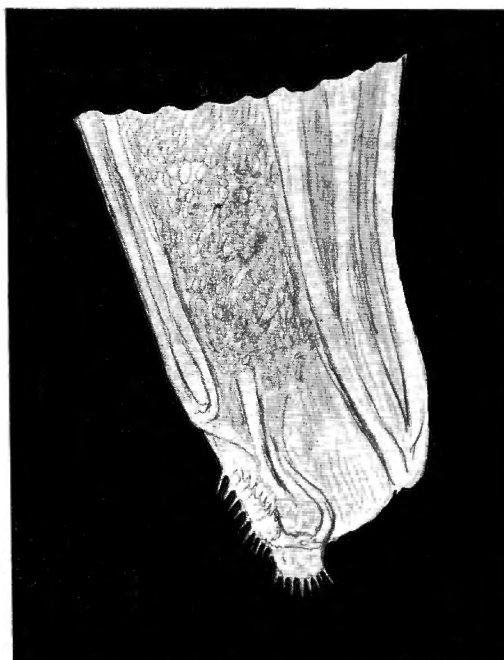


Fig. 219.

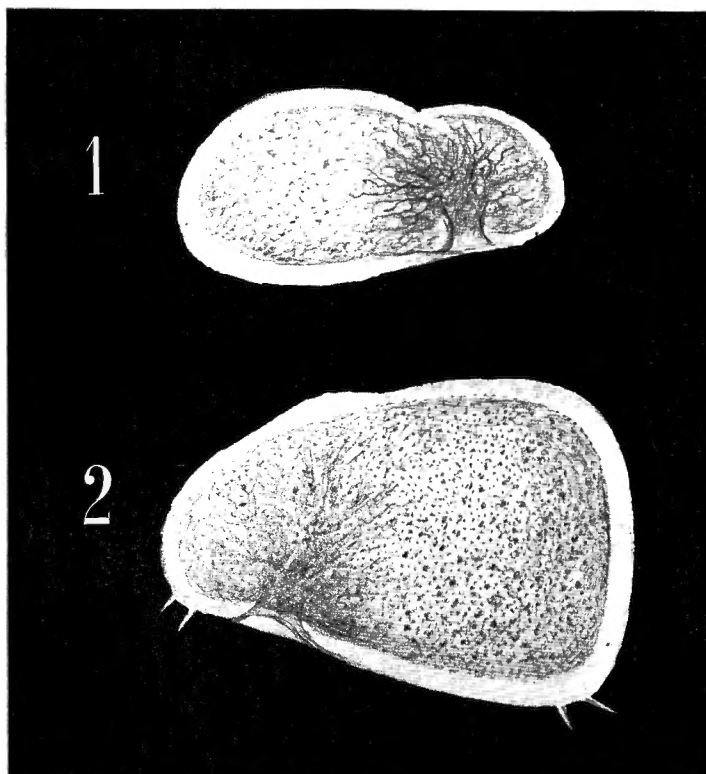


Fig. 220.

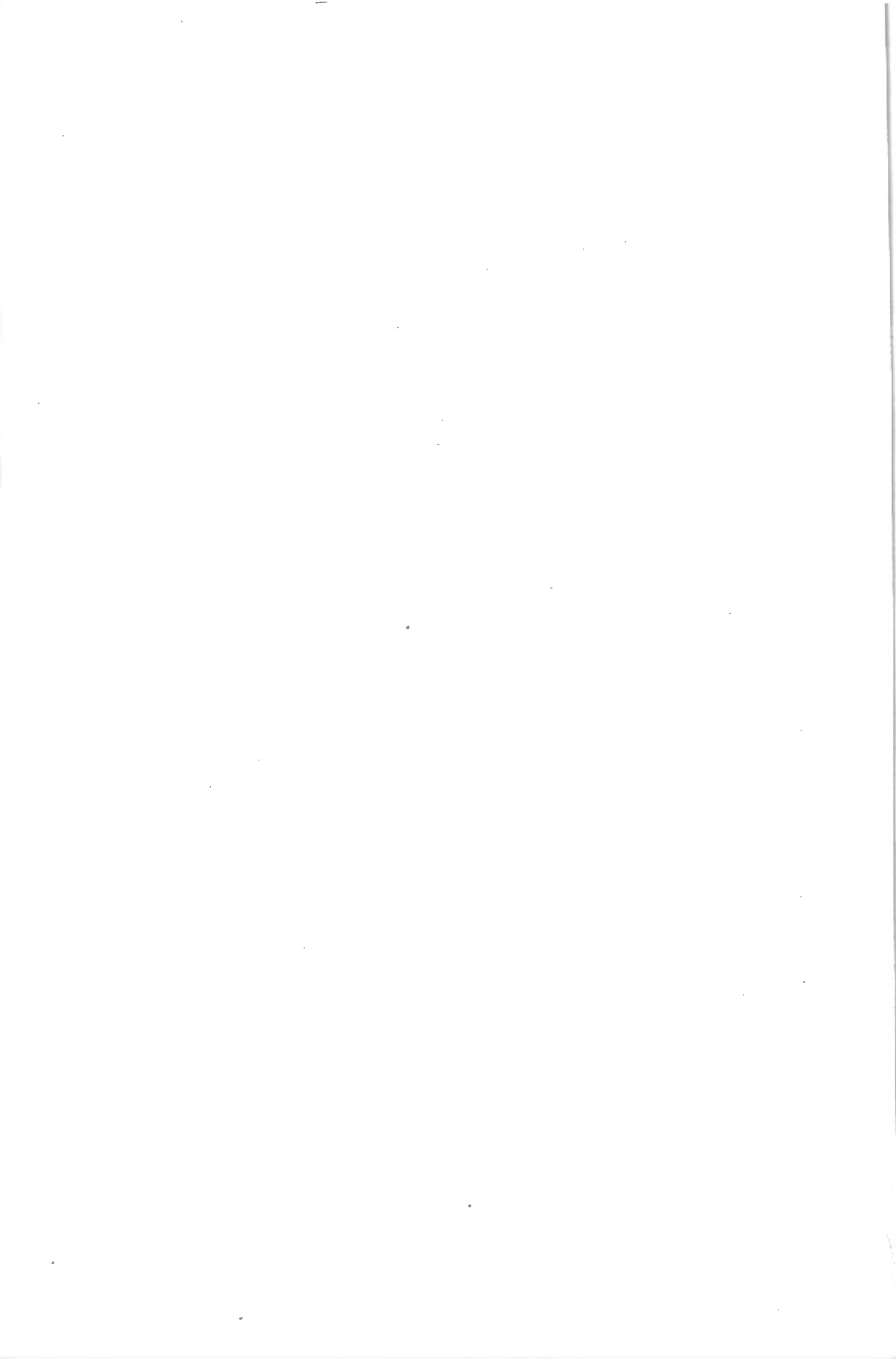




TAVOLA XCVII.

SPIEGAZIONE DELLE FIGURE.



Conocellio uniformis ARCANDELLI.

Fig. 221. — Cephalon, visto dal dorso (x 90).

Fig. 222. — Pereoniti I e A, visti dal lato destro, dorsalmente (x 36).

Fig. 223. — 5° pleonite, pleotelson ed uropodi, visti dal dorso (x 28).

A. ARCANDELLI del.

.IIVOX A.IOVAT

**SPIEGAZIONE DELLE FIGURE.**

---

*Congocellio uniformis* ARCANGELI.

- Fig. 221. — Cephalon, visto dal dorso (x 90).
- Fig. 222. — Pereioniti 1 a 4, visti dal lato destro, dorsalmente (x 26).
- Fig. 223. — 5° pleonite, pleotelson ed uropodi, visti dal dorso (x 28).

A. ARCANGELI del.

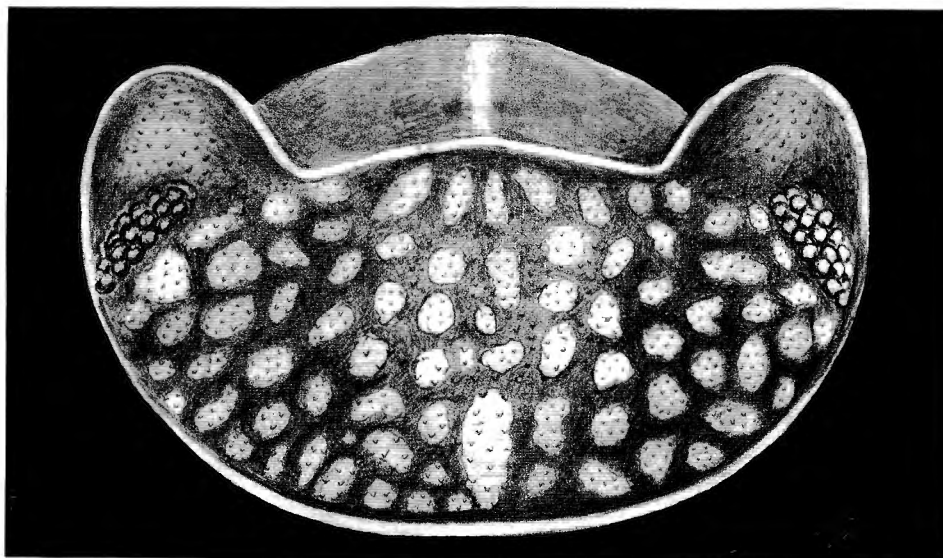


Fig. 221.

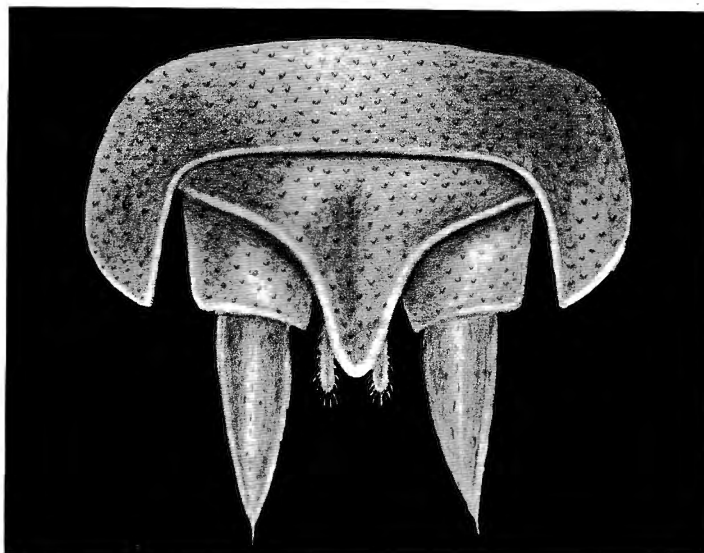


Fig. 223.

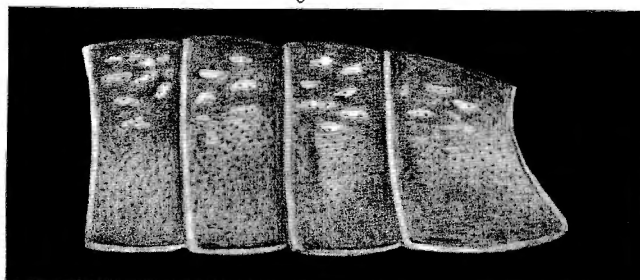


Fig. 222.

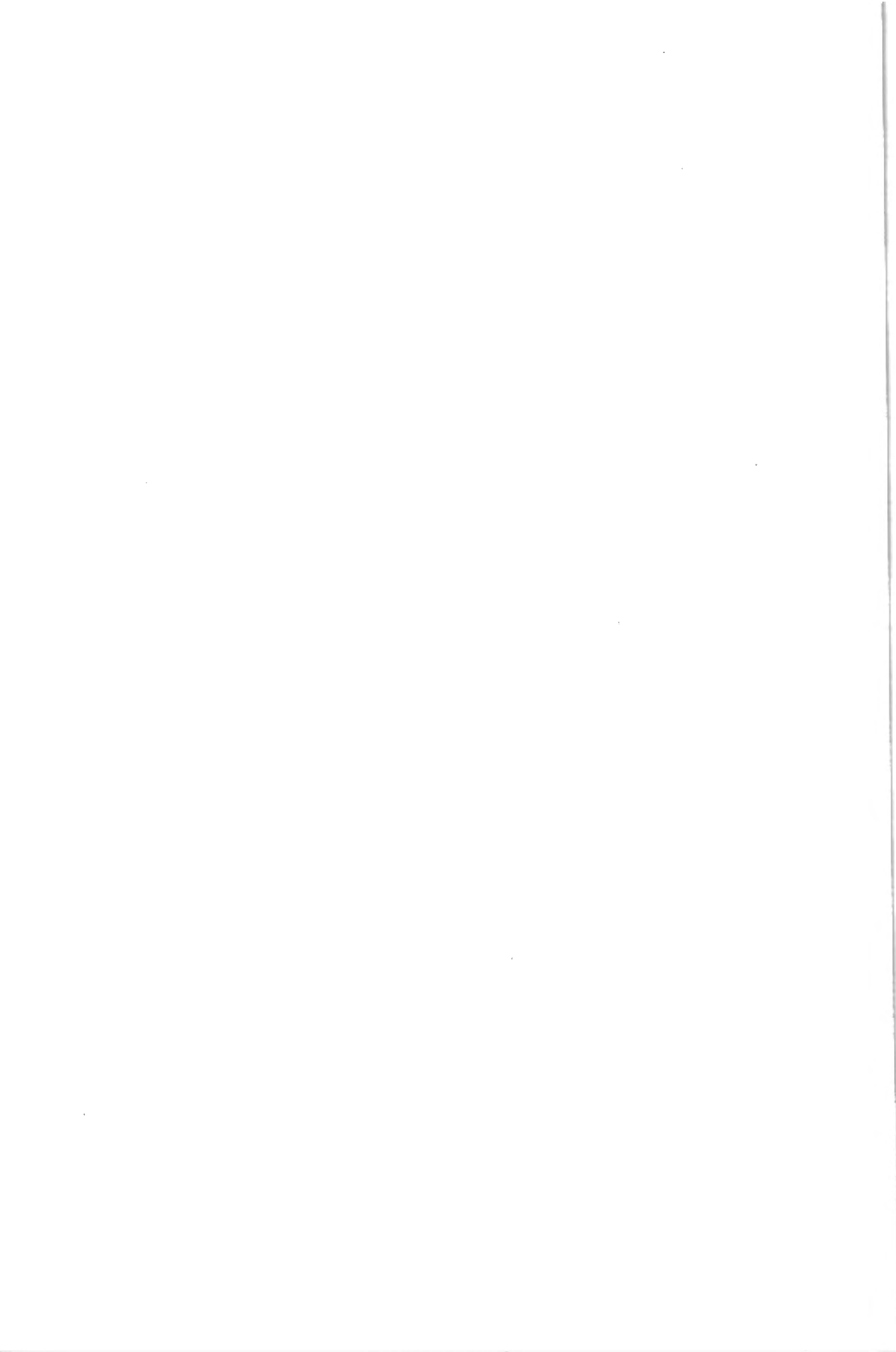


TAVOLA XCVIII.

SPIEGAZIONE DELLE FIGURE.

*Congocellio uniformis* ARCANCELLI.

Fig. 224. — 2° articolo dello scapo e flagello dell'antenna sinistra, vista dal dorso (x 90).

Fig. 225. — Parte distale della lamina interna della lamina destra, vista dal lato caudale (x 440).

Fig. 226. — Exopodite del 1° pleopode sinistro della ♀, visto dal lato rostrale (x 90).

Fig. 227. — Exopodite del 2° pleopode destro della ♀, visto dal lato rostrale (x 90).

A. ARCANCELLI del.

.III VOX AJOVAT

SPIEGAZIONE DELLE FIGURE.

*Congocellio uniformis* ARCANGELI.

Fig. 224. — 5° articolo dello scapo e flagello dell'antenna sinistra, vista dal dorso (x 90).

Fig. 225. — Parte distale della lamina interna della mascella destra, vista dal lato caudale (x 440).

Fig. 226. — Exopodite del 1° pleopode sinistro della ♀, visto dal lato rostrale (x 90).

Fig. 227. — Exopodite del 2° pleopode destro della ♀, visto dal lato rostrale (x 90).

A. ARCANGELI del.

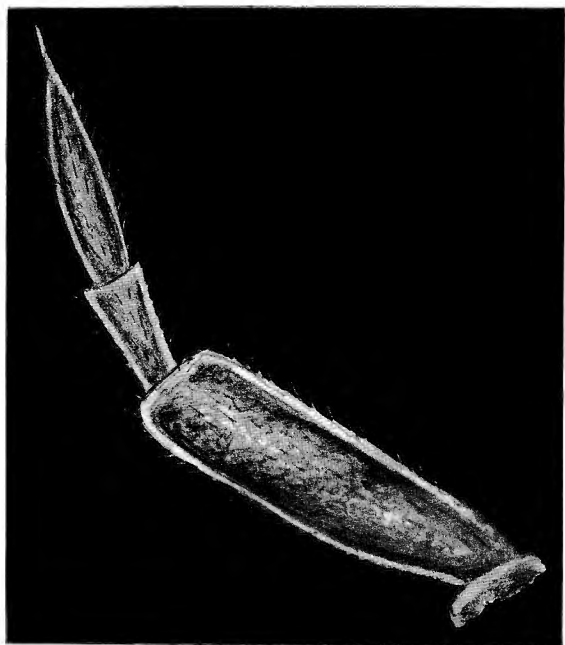


Fig. 224.

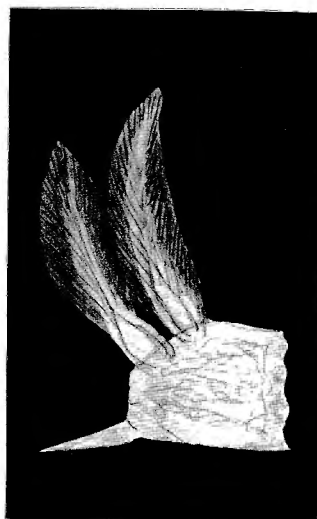


Fig. 225.

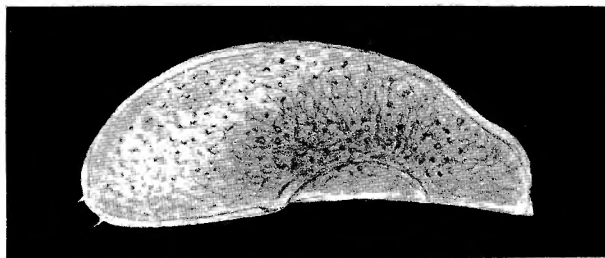


Fig. 226

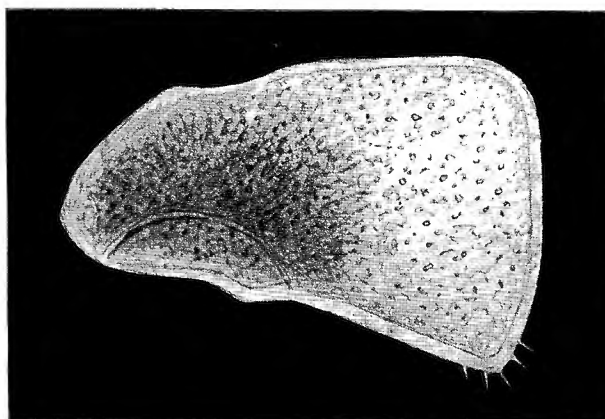


Fig. 227.

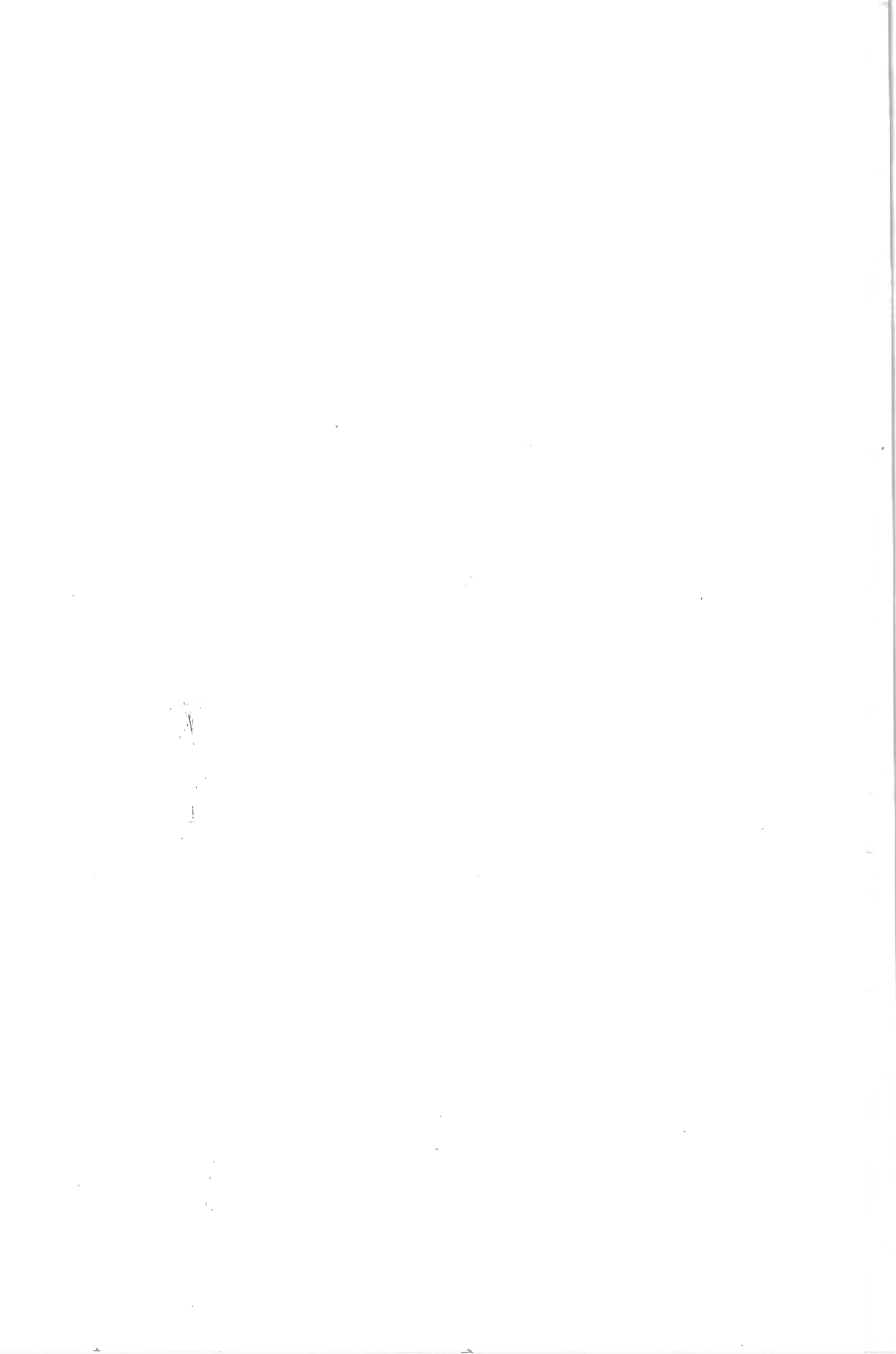




TAVOLA XCIX

SPIEGAZIONE DELLE FIGURE.



*Tropicocellio pallidus* ARCANDELLI.

Fig. 228. — 2° pleonite, pleotelson e protopodite degli  
uropodi, visti dal dorso (x 20).

Fig. 229. — Superficie dorsale della base del 3° pereio-  
nite (x 440).

A. ARCANDELLI del.

XIIX AJOVAT

SPIEGAZIONE DELLE FIGURE.

---

*Tropicocellio pallidus* ARCANGELI.

Fig. 228. — 5° pleonite, pleotelson e protopodite degli uropodi, visti dal dorso (x 90).

Fig. 229. — Superficie dorsale della base del 3° pereonite (x 440).

A. ARCANGELI del.

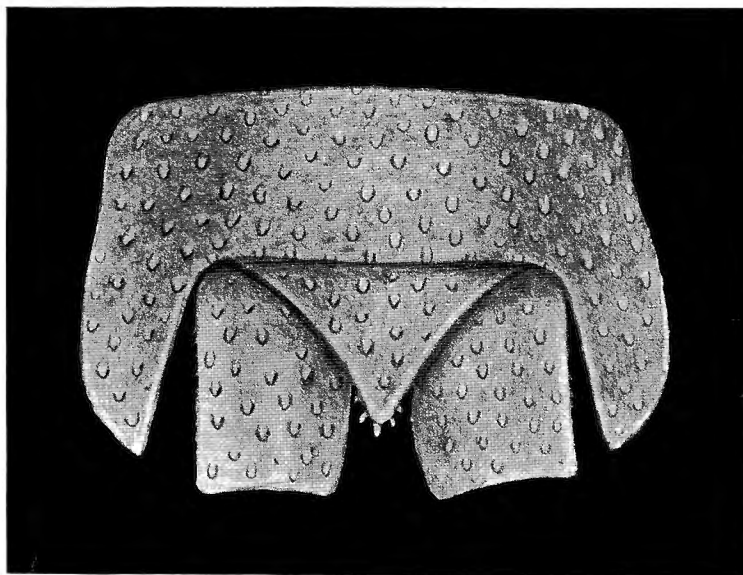


Fig. 228.

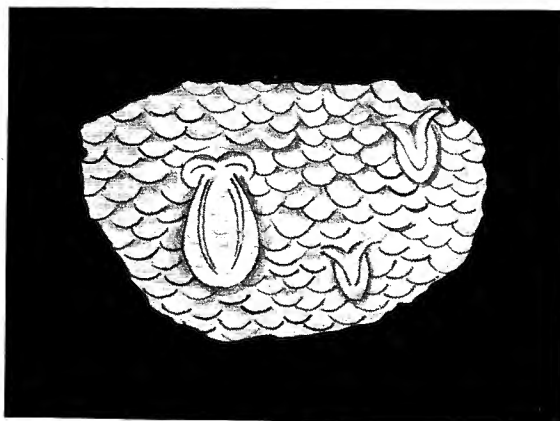


Fig. 229.

